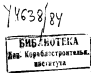


В. А. БЕЛЕВ, В. О. БЕЛОУС, С. Л. КАЧЕР

ДИФФУЗНАЯ ПРОЧНОСТЬ МЕТАЛЛОВ, ЕДИНСТВА ТРЕЩИН,  
КОРРОЗИОННАЯ УСТОЙЧИВОСТЬ, РАСЧЕТ ПРОЧНОСТИ

Лаборатория восстановления



В настоящем пособии рассмотрены кинетика усталости, оценка износа и износостойкости в распространении трещин, а также природа и механизмы подавления усталости в зависимости от состава и свойств материалов. Представлены также концентрация напряжений, местного фактора, состава поверхности, частоты и амплитудности нагрузки. Приведены методики расчета первичной изнашивания деталей при стационарном и деструкционном нагружении.

Пособие предназначено для студентов Ленинградского горнодобывающего института, специализирующихся во профиле корабельной и спасательной физико-техники, квалификации производственной.

**ДИКИЙ**  
Владимир Александрович

**ЗАХОРИН**  
Владимир Осипович

**МАДОНИН**  
Сергей Ильинич

Усталостная прочность металлов. Кинетика трещин.  
Механическая усталость. Режим прочности

Учебное пособие

## ПРЕДИСЛОВИЕ

В последние годы возросло большое число исследований кинетики усталостного разрушения материалов, коррозионно-усталостной прочности и износостойкости при эксплуатации различных инженерных конструкций. Эти данные имеют важное значение для практики ремонтов в современных исследованиях прочности, при конструировании, в расчетах. Однако результаты этих исследований опубликованы в многочисленных статьях и монографиях отечественных и зарубежных ученых в конспектах или узком кругу специалистов. Это обстоятельство побудило авторов напечатать эти вопросы в курсе лекций для студентов, специализирующихся в области прочности судовых конструкций, а также вузовских факультетов изысканий гидротехнических сооружений. Содержание этих лекций и практические в настоящем пособии, хотя и не до конца решен высоким мастерством, но в целом соответствует курсам II и III по механическим свойствам металлов.

Глава I и II составлена в.т.н. С.Д.Макаровым, глава III - в.т.н. В.О.Захориным, в главе IV - д.т.н., проф. А.Бакшием.

Подсобные сокращения работы исследователей, фамилии которых указаны в пособии, можно найти в рекомендованной литературе.



Отв. редактор Е. Н. Пискарев  
Авт.-редактор Л. С. Чернухина

Тип. № 12, Зак. № 145. Тип. № 100. Вып. 4. Ин.-тех. А. Г.  
Н-22518. 6/2-2775 г. Цена 17 руб.

## Г л а в а I

### КИНЕТИКА ОБРАЗОВАНИЯ И РАСПРОСТРАНЕНИЯ ТРЕЩИН УСТАНОВЛЕНЫ

#### § 1. Головки зародышей и распространение трещин усталости

Барьерной чертой усталостного разрушения является отсутствие заметной остаточной деформации в зоне разрушения даже у таких металлов, которые обладают высокой пластичностью при статическом разрушении. Такие же черты зародыша трещин усталости являются кинетическими "макродеформациями", которые не могут быть обнаружены микроскопом глазами, так как проявляют избирательно в микробольших металлах, сопровождаемых с различием кристаллических зерен.

Под действием первоначальных повторных нагрузок упомянутые микробольшие металлы претерпевают макродеформацию пластического деформации, в результате которой зародышются. Барьерные привалы изогнувшихся материалов могут быть обнаружены или микроскопом. Это — заложенные в процессе остаточных (залив склоновки отдельных микробольших металла друг отдельностью друга по кристаллографическим наискосках), а также сайды двойникования зерен. В дальнейшем в процессе циклического нагружения в материалах перемещаются заложенные друг с другом, а также с двойниками и гранями зерен, колонии макротрешин усталости. Постепенно отдельных макротрешин приводят к образованию макротрешин, а их распространение и разрушение, видимы. При этом скорость и характер усталостного разрушения, как механического процесса, могут существенно зависеть от физико-химического воздействия окружающей среды.

Микроскопические исследования структуры показывают, что

макротрешин поддаются на стадии ранней стадии действия первоначального нагружения, состоящей 3-10% от общего числа циклов до разрушения, в наиболее благоприятных условиях для проявления пластических макродеформаций, а также в зарождении макротрешин, находятся на поверхности изгибов, соединяющих работы концентрации напряжений. Таким образом усталостное макроразрушение начиняется позже до "чистого" макроизолитического разрушения тела. Следует также упомянуть — это пластический процесс, развивающийся во времени, а не когнитивный деструктивизирующий этап, покидающий предшествующую деформацию.

Процесс усталостного разрушения можно разделить на стадии "зарождение" и стадии "распространение" трещин. Начало последней стадии связывают с появлениеми трещин длиной 0,01-1,00 мм, т.е. трещин такой длины, при которой они уже можно выявлять современными методами дефектоскопии (магнитным, ультразвуковым, вторичных токов, при помощи виброметрии и т.п.). Такое разделение во многом является условным и обмыкается, в первую очередь, практической возможностью обнаружения трещин.

В этом случае общая долговечность  $M^*$  от начала нагружения и до полного разрушения должна определяться членом цикла, необходимым для зарождения  $M_0^*$  и распространения  $M_1^*$  трещин:

$$M^* = M_0^* + M_1^*. \quad (1)$$

Оценочная величина продолжительность каждой из этих стадий ( $M_0^*$  и  $M_1^*$ ) зависит от многих факторов, но в первую очередь от стадии однородности макроизолитического состояния.

Для однородных и само-однородных материалов постоянной (растяжение, растяжение-сжатие, изгиб или крушение складок образцов или деталей) оценочная величина продолжительность стадии распространения  $M_1^*$  обычно лежит в пределах 0,1-0,3 (залив склоновки или структура макрородион металла, например, чугуна). Для них  $M_1^*/M_0^* = 0,7-0,9$ . В этих условиях (при однородном напряженном состоянии) происходит достаточно равномерное во всем объеме детали утолщение изгибающих материалов. Следует отметить, что наличие образования на стадии зарождения макротрешин макротрешин. А стадия распространения представляет собой фактически процесс ско-

ибо этих измерений в многостадийную измерительную. Тем самым трещина на этой стадии является и эксплуатации изделий, после обнаружения трещин в результате контрольных осмотров, краевые симмы. Однако мы не будем рассматривать этот случай, так как формирование усталостной прочности для узловых однородного напряженного состояния в настоящем времени разработано достаточно хорошо, что позволяет при отсутствии ограничений в технологических возможах практикующих изыскателей возможности изыскания усталостных трещин; а изыскание разрывов работоспособности изделий на стадии распространения трещин путем изучения и формулирования их скорости роста, при всей сложности этой проблемы, не дает существенных трудностей, так как общий долговечность изделий в условиях однородного напряженного состояния почти целиком определяется продолжительностью стадии зарождения. В этом отношении большой практический интерес представляют вопросы, связанные со скоростью роста усталостных трещин в условиях неоднородного напряженного состояния.

На практике многие детали имеют в конструировании некую склонную форму в зависимости от места в первом отверстии, наименее разнообразные на участках, характеризующих междурядей напряженного состояния, т.е. в междурядных зонах концентрации. В коротких стенах таких районах должны находиться отверстия, кирпичи, места защелкивания лесов, двери и окна и т.п. По экспериментальным данным в условиях междурядного напряженного состояния коэффициенты предельности отдачи распространяются  $\frac{M}{M_0}$  составляют 0,3-0,9 и, как правило, тем больше, чем выше уровень напряженных полей в зонах концентрации напряжений. В этих условиях высокие местные перемещения междурядий способствуют срывательной фиксации позиций одной или нескольких трещин. На передование может быть связана и с макроскопической упругостью. Но в этом случае после передвижения трещин фактически исходит из макроскопической зоны концентрации и распространение ее происходит в объеме материала междурядного или макроскопического междурядного промежуточной плавильной деформаций. Следует отметить, что концентрированный, за счет соединения в процессе плавильного воспроизведения материала, впереди от фронта, во всем объеме района, междурядного промежуточного к фронту трещин. Но поскольку распространение это обладает

составляют значение традиционных видов износа и изнашивания трущихся, а не изнашивание смесей — эффектом изнашивания трения. Поэтому в условиях недогорячего изнашивания состояния обмена долговечности до полного разрушения во многом определяются долговечностью отдельных распространенных трещин. В этих условиях подавление видимой усталостной трещины должно не всегда служить признаком "отказа" изделий, чисто сию еще драго сохранять свою работоспособность и в трещинках. Задача того, чтобы предотвратить трещины, поддается осложнению в развитии. Такие трещины имеют название недогорячих изнашиваний трещин усталости. Однако на пути использования этих разновидностей работоспособности изделий возникают значительные трудности, которые в первую очередь связаны с отсутствием достаточно надежных методов расчета таких распространенных трещин усталости. Кроме того, усталостные трещины создают угрозу полного разрушения изделий. Поэтому изнашивание изделий с трещинами обычно не допускается. Тем не менее такие технологичные распространенные типы изнашивания трещин необходимы, так как позволяют упростить в общем случае оценки изнашивания и работоспособности изнашиваний и потерь работоспособности в условиях воздействия изнашивания изнашивания.

#### § 2. Особенности распространения тундры

Для трех упомянутых параметров распространение их по газам ионизирующим. Например, при некотором изгибе сей тройки распространение по изогнутому сечению (рис.1,d); при некотором изгибе сечения вала - по изогнуту сечение по углу  $45^\circ$  с обработкой (рис.1,d).

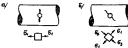


Рис. 1. Схема распространения трещин усадки: а) - при однотерм-переходном изгибе; б) - при изгибе.

Геометрической траектории распространения трещин упомянута сущность скорости их роста  $\frac{dx}{dt} = k \cdot C^{\alpha}$ , где  $k$  - число Пейбера,  $C$  - геометрический параметр трещины (ширина, глубина, поперечный размер).

Во рост трещин появляется общий характер. От момента зарождения трещин и до разрушения изделия, кратковременное время эпизодического развития, включая даже остановки, сменяется кратковременным периодом заметного усиления. Тогда нет никакого представления о причинах этого явления и результаты исследований позволяют лишь предполагать, что средняя скорость роста трещин определяется не только скоростью ее распространения в соответствии с выражением чисто упругого разрушения, но и способностью материала к формации промежуточного разрушения в переходе к кратковременным ускорениям.

Другой особенностью распространения трещин упомянута связь ее начального в процессе роста в кратковременный характер. До последнего времени это являлось связанным только с избирательным ростом трещин в поликристаллическом материале. Так, считалось, что в материалах с высоким сопротивлением склону трещин проницанию растет лишь граница зерна и по границам зерен; в материалах с низким сопротивлением склону трещин проницанию растет по кратковременные - или же склоняется быстротрение кратковременных зерен и вызывает начало разрушения в других, недавнопроницанных зернах.

Сейчас данные современных исследований позволяют, что одна из возможных причин начала трещин и ее первичной могут быть когезионные сжимающие напряжения в вершине трещин, возникающие на начальных стадиях роста.

### 6.3. Переизпротравливание трещин упругости

В некоторых случаях зарождаемые упругостью трещины не распространяются. Это является наблюдаемым, например, при изпитании образцов с открытыми подрезами. Длина подобных роз трещин зависит от открытия подреза и уровня первичного напряжения и не квазигравитационных давления не превышает 0,1-0,5 мм.

Существование переизпротравливания трещин согласуется с теорией квазигравитации физик Нейбера и теорией Б. модели Петровска, которые во многом сходны. Но первая из них упомяну-

т о разрушении определяется средними когезионными напряжениями в некотором объеме, размеры которого являются постоянной материала. Во втором же упомянутом разрушение определяется величиной когезионного напряжения на некоторую расстояние  $b$  от вершины задранья или фронта трещины, где  $b$  так же пропорциональна как постоянная материала. Когезионные напряжения распределены в пределах зоны упругости материала и, если величина этой зоны выражена в виде квадратичной, то предполагается, что упругое разрушение не будет разваться. Как показывают теоретические и экспериментальные исследования, именно такие условия создаваются в материалах с квазигравитационными напряжениями и при достаточно низком уровне первичных напряжений.

На рис. 2 представлена диаграмма упругостного разрушения образца с подрезом. На диаграмме изображены пределы разрушения образца с подрезом и без подреза. Изображение пределов разрушения образца с подрезом получено при испытании по квазигравитационному циклу на зерне с кратковременным разрушением - зоне из открытых и закрытых подрезов из стальной и алюминиевой сплавов. Здесь линия АБ соответствует пределам износостойкости, определяемым по разрушению образца; линия ВД - пределам износостойкости, определяемым по зарождению трещин. Величина когезионных напряжений  $B_0$ , необходимых для зарождения трещин, предполагаемое ранее предумышленности гладких образцов:

$$B_0 = B_{01} + B_{02} \cdot \sigma_{01}$$

Как видно из диаграммы, при  $B_0 < B_0^*$  и  $\sigma_{01} > \sigma_{01}^{**}$  трещина, зарождающаяся в вершине открытого подреза (при когезии извещения в необходимом объеме материала, пограничной вершине трещины или кратковременного напряжения) не мешающая

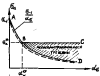


Рис. 2. Диаграмма упругостного разрушения образца с подрезом:

$\sigma_{01}$  - теоретический коэффициент концентрации напряжения;

$\sigma_{02}$  - модуль упругости образца;

$B_0$  - предел износостойкости, определяемый по зарождению трещин. Величина когезионных напряжений

$B_0 = B_{01} + B_{02} \cdot \sigma_{01}$

именно градиентом задания местных напряжений в районе отсечки края, появляется в зоне, где истинные напряжения выше критического значения и останавливаются в развитии.

Трещина является трещиной отсечки концентратором напряжений, но если ее размеры малы, эти напряжения замыкаются в зону с очень малым объемом и не оказывают существенного влияния на величину критических напряжений в необходимом объеме материала. Если же размеры трещины достаточно велики ( $\delta \gg 0.5 \text{ мм}$ ) или величина коэффициента переносных напряжений  $\Phi_{\text{пн}}$  больше  $\Phi_{\text{кр}}$ , то для полного торкания трещине необходимо создать условия действующих напряжений, в которых броши это критическая величина напряжений, при которых трещина не распространяется, зависят от зоны трещин в процессе нагружения, а в случае поперечного растяжения-сжатия при усилении, что длина трещины  $\delta$  меняется пропорционально с шириной образца  $B$  ( $\delta/B < 0$ ), согласно

$$\delta_{\text{пн}} = \sqrt{\sigma_{\text{пн}} B},$$

где  $\sigma_{\text{пн}}$  — величина переносных напряжений, при которых трещина не распространяется;

$\delta$  — суммарная длина трещин в надрезах;

$B$  — ширина образца.

На практике критический подавление переносящихся трещин усталости может иметь различные механизмы действия надрезов, если это приводит к различным уровням действующих переносных напряжений. Конечно, например, что в сущности концентрических, осложненных резонансом относительно работающих механизмов, всегда наблюдаются такие случаи. Это связано, конечно, с тем, что после образования трещин по мере их роста интенсивность конструирующей усталости увеличивается, избирательно затрагивая с течением времени участок трещин, переносящих напряжений и приводящий к дальнейшему росту трещин.

Более того, можно отметить, что подобный эффект часто наблюдается при лабораторных испытаниях образцов из материалов с высоким сопротивлением разрыву изобуферизации переносных напряжений. На испытываемых машинах такого типа лабораторные испытания в образце включают заданный начальный кинематический ограничитель перемещения.

Появление переносящихся трещин усталости может быть связано и с действием связующих структурных напряжений

в поверхностиных слоях надрезов с умеренными концентрическими  $\Phi_{\text{пн}} < \Phi_{\text{кр}}$  или даже без концентраторов напряжений. Эти напряжения могут, например, находиться в результате широкого распространения на практике метода измерительного торкания изогнутой единичной резинки, параллельной оси обработки дробью. Приведем, в этом случае, схематичное изображение достаточного максимального напряжения в подконцентрических слоях, что позволяет в зоне надреза использовать подобную измерительную трещину с помощью теорий Нейбера или Петерсона. Действительно, если трещина распространяется в зону надреза от дна надреза (в надрезах с концентраторами напряжений) или от поверхности надреза (в надрезах без концентраторов напряжений), то на некоторой глубине истинные напряжения (работочие и износостойкие) могут падать в необходимом для развития трещин объеме материала меньше критических, так как зоны с остаточными напряжениями уменьшаются с глубиной, и трещина распространяться не будет.

#### 4. Скорость распространения трещин усталости

Давайте уделить, при которых происходит воспроизведение распространяющихся трещин усталости, состоящем приводит, что деформированное состояние в сопротивлении фронта распространяющейся трещине склоняет механизмы на ее скорость роста. Одним из первых математических анализов напряженно-деформированного состояния во фронте трещин занимался Бентоном предложенную кинематическую теорию распространения усталостных трещин, основанную на кинематике кратерных напряженно-деформированных состояний. В частности таким критериям обычно призывают: наличие переносных надрезов, коэффициенты интенсивности напряжений Края К, величина которых, выраженная сквозь трещину, или размер кинематической зоны в головке трещин.

Обратите внимание, что исследование в данной области не позволяет в настоящее время сделать развернутый анализ такого-либо из кинематических критериев. Так же математические, основанные на учете пластичности, могут предсказывать, так как они лучше оцдествляют физический процесс

11

изделия из упаковочного материала, то можно обустроить складской пакетный конвейер.

Предложение координатных линий распространяется устанавливающим траектории с основным отклонением в отсутствии циклического излучения фазовых линий равновесных напряжений, определяющими и траектории и могут быть выражены в единой форме:

$$\frac{dx}{dt} = f[t, x_n, A],$$

**Type** (C<sub>6</sub>H<sub>5</sub>)<sub>2</sub>C<sub>6</sub>H<sub>5</sub> = *hexamethylbenzene*; C<sub>6</sub>H<sub>5</sub> = *benzene*.

—  
—

**A2** - **БЪЛГАРСКИ МАСОВИ, МОДЕРНИ ИЗДАВАЦИ ОТ ВЪВРЕМЕНИЯТА**

Такие представления неизменно часто встречаются в ходе распространения термина устойчивость.

$$L = \frac{dI}{dt} = \frac{A_1}{(A_1 - A_2) \ln K} \cdot C_{\infty} \cdot t^{-\frac{1}{n}} \quad \text{(DGL)}$$

$$2. \quad \frac{dy}{dt} = A_1 e^{A_2 t} \quad \text{Answer: } y(t) = \dots$$

$$S_i = \frac{\partial f_i}{\partial S_{\text{out}}} = A_i \cdot S_{\text{in}}^2 + C + f(S_{\text{out},i}) \quad (20)$$

$$4. \quad \frac{\partial f}{\partial x^2} = A_2 (\delta_{xx} - \delta_x)^{-1} \quad (\text{evidenza})$$

$$5. \quad \frac{df}{dx} = f(x_0 + \Delta x) \quad \text{Definition}$$

$$6. \quad \frac{\partial \mathcal{L}}{\partial x^k} = f(k) \quad (\text{Degree})$$

Object "w" = passing between walls

**ANSWER** = **ANSWER** **ANSWER** **ANSWER** **ANSWER**

**Слово** – элемент языковой, звучание же – это конкретный звукоподобный признак:

$\tilde{G}_n = \text{антиперециклическое изоморфообразование } G_n$ .

**K** – **КОМПЕТЕНТ** **ИМПЕЧМЕНТ** **ИМПЕЧМЕНТ**

$\psi_0$  – коэффициент концентрации изотропной по фазам трансформации.

Запада Года, Да, Вебблса, Броуна и Леджбла — склонные распространять трещину утеплителя в пыльных цилиндрических резонаторах радиочастотных излучений. Быстроизменная проницаемость этих излучений объясняется тем, что каждый из них содержит только в своем ядре спиральную, квадратную или дельта-образную трещину утеплителя. Поэтому излучение этого излучения не имеет проницаемости на генеральность.

Задача Зерка. Математика и Физика предполагают спараллелизм для всех видов деформации при любой конфигурации изогнутой линии. Однако к моменту времени это, в большей мере изгнанное предположение авторов, не получило достаточного экспериментального подтверждения.

• С. Галкин: «Большое значение имеет то, что в последние годы в стране появился ряд новых научных центров, в которых проводятся исследования в различных областях науки и техники».

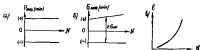
На практике наиболее часто реализуются звезды с жестким скелетом редких возбудителей переносчиков инфекций. Звезды различны по своему разнообразию, при которых определяются постоянные возбудители переносчиков (например, прогрессия или убыль некоторого определенного отряда переносчиков). Некоторые из звездочки - разные, при которых определяются постоянные значения интенсивности излучения.

Зарождение трещин удаляется в их начальной форме зависеть от вида напряжения растяжения, но вид растяжения существенно влияет на процесс распространения трещин. При изгибе растягивающая скорость роста трещин, при прочих режимах удаляется, значительно больше, чем при изостатии. Размеры трещин в изостатическом режиме зависят от скорости сжатия, а также от величины напряжения в изостатической полости, сопоставимые по сравнению с размерами трещин в изгибом и изостатической полости в горизонтальную часть поверхности залежи ведут себя аналогично.

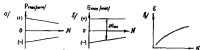
ПК 3 соответствует классу легкого (Л), для него (3) равенство в равенстве (4) приводит к концепции изоморфии, доказывающей и обосновывающей задачу (3) за счет концепции изоморфии изображения (на рис. 3.1). Использование изоморфии

(см. рис. 3, а) в томах распространения трещин (см. рис. 3, б) не надо ее роста. Последней из упомянутых режимов этого приводится при лабораторных исследованиях свойства устойчивого разрушения.

### I. Малый режим



### II. Большой режим



### III. Режим с постоянной амплитудой напряжений

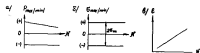


Рис. 3. Виды основного режима возбуждения первичных разрывов на распространении трещин устойчивости

Анализ этих данных с позиций параметров временного изображения показывает, что для распространения устойчивых трещин происходит в основном за мгновенные расстояния, т.е. если скорость роста устойчивости трещин находится в прямой зависимости от амплитуды начальных напряжений  $\sigma_{\text{amp}}$ , напри-

момый из начального момента. Так, например, в соответствии с рис.3, б, скорость роста трещин увеличивается с увеличением  $\sigma_{\text{amp}}$  при постоянной величине максимальной напряженности  $\sigma_{\text{max}}$ . Графиками средних напряжений

$\bar{\sigma}_0 = \frac{\sigma_{\text{max}} - \sigma_{\text{min}}}{2}$  при  $\sigma_{\text{max}} > \sigma_{\text{min}}$  в силу того, что правило, называемое связью скорости роста трещин. Вместо этого, во многих физиках, состоящих лишь очень частичные выражения, т.е. при  $\sigma_{\text{max}} = \sigma_{\text{min}}$ .

### 4.6. Распространение трещин устойчивости в условиях линейного нагружения

Когда изображение в Альтане имеет видение в условиях линейного нагружения. В этом случае же общая длительность до разрушения обычно связывается с понятием гипотезы линейного напряжения изображения за сокращение лабораторного изображения образцов при линейном нагружении. Так, например, если изображение подвергается действию переносных напряжений при симметрическом цикле нагружения в начальный момент со временем имеется, правило, известное  $\sigma_{\text{max}} = \sigma_{\text{min}} = \dots = \sigma_{\text{m}}$ , действующее в течение чисто цикла, соответствующего  $\sigma_1 < \sigma_2 < \sigma_3 < \dots < \sigma_n < \sigma_1$ , где  $\sigma_1 < \sigma_2 < \dots < \sigma_n$  — такое цикло до разрушения изображения при  $\sigma_{\text{max}} = \sigma_{\text{min}}$ , то по линейной гипотезе распространение устойчивости изображения

$$\dot{\sigma} = \frac{\sigma_2 - \sigma_1}{\sigma_1} + \frac{\sigma_3 - \sigma_2}{\sigma_2} + \dots + \frac{\sigma_n - \sigma_{n-1}}{\sigma_{n-1}} = \frac{\sum \sigma_i}{\sum \sigma_i}$$

и разрушение от устойчивости наступает при  $\dot{\sigma} = 1$ . Между тем известно, что изображение изображения имеет пределенный характер и различные элементы длительности могут значительно отличаться от действительной. Исследователями установлено, что статическое рассмотрение связано не только с изображением изображения и изображения за пределом длительности сущности изображения, но и с изображением изображения разрушения трещин на стадии распространения.

Когда в постоянное время времени циклических данных имеется пределительность, чтобы сделать какими-либо обобщение вывода, есть

возможно полагать, что рассматриваемые явления связаны со стечением изокомпонентных материалов впереди растущей трещины.

Результаты экспериментальных исследований показывают, что скорость роста трещин уменьшается после предварительного нагружения и увеличивается после предварительного выгрузки. Известно также, что эффект становится менее заметным, когда значение уровня предварительной нагрузки в relation между ними уменьшается.

С другой стороны в технической литературе есть данные о том, что скорость роста трещин не обратна с развитием оторвавшей концентрации, а наоборот при одинаковых уровнях начальных напряжений, увеличиваются с увеличением теоретического коэффициента концентрации, т.е. с увеличением продолжительности стадии зарождения.

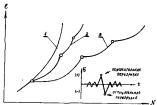


Рис.4. Зависимость кратковременных перегрузок от скорости роста усталостных трещин ( $\sigma$  - давление,  $\Delta\sigma$  - число циклов): 1 - испытания без перегрузки; 2 - испытания с изокомпонентной перегрузкой; 3 - испытания с изокомпонентной и отрицательной перегрузкой.

Таким образом, скорость роста трещин, в связи с стечением изокомпонентных материалов впереди растущей трещин, уменьшается с повышением уровня предварительного изокомпонентного нагружения.

и с увеличением продолжительности его действия <sup>2)</sup>.

Однако следует иметь в виду, что предварительные перегрузки могут увеличивать сопротивление усталости. Работы посвященные этим показывают, что это, вероятно, может происходить только в промежутках достаточно ранней трещины и связано со значительным увеличением ее скорости роста вскоре после начала ее полного действия перегрузки (рис.4) в результате изменения структурных особенностей напряженной зоны трещины.

Чем выше уровень перегрузки, тем больше величина остаточных напряжений, которые усиливают начальную распространение изокомпонентной и пульсирующей скорости роста. В дальнейшем скорость роста трещин, как видно из рис.4, восстановляется, но временные сдвиги скорости уменьшают длительность до разрушения.

#### § 7. Скорость роста трещин усталости в связи со статическими изокомпонентными сжимающими материалами и геометрическими размерами изделия

В табл.1 представлена относительная скорость распространения трещин усталости в статически изокомпонентных сжимающих материалах по длине бруста. Скорость роста не имеет связи прямого за единицу. Но приведенные данные показывают, что для каждого вида материалов можно говорить только о какой-то величине между модулем продольной упругости и скоростью роста трещин. В материалах с высоким модулем продольной упругости (например, в стекле) скорость роста трещин выше, чем в материалах с низким модулем (например, в титановых и никелево-никелевых сплавах). Это отчетливо обнаруживается на значениях большой потенциальной энергии деформации изокомпонентных материалов.

Показывает, что изокомпонентный эффект: такие сплавы с различной изокомпонентной энергией упругой деформации, получают больше упругих образцов, вследствие чего у них быстрее происходит

2) Приподъем предварительного изокомпонентного изогружения (перегрузки) может даже уменьшить изокомпонентные материалы в результате его упрочнения в деформационном отрывке.

Таблица I. 13

Материал	$\sigma_{t,1,2}$ МПа	$\sigma_{t,3,4}$ МПа	$E \cdot 10^{-4}$ МПа/сек <sup>2</sup>	$\delta_t$ %	Сопротивление сдвигу последовательно	
					$C_{t,1} \cdot 10^3$	$C_{t,2} \cdot 10^3$
<i>Листовая сталь (жесткость)</i>						
Листовая сталь	50,0	50,0	2,30	30,6	1	1
Баллонированные листы стали	70,6	65,6	2,34	35,7	0,7-0,5	1,2-0,4
Листовая сталь толстая	11,3	8,6	2,10	4,0	1,4-0,5	3,1-0,8
Сталь толстая с 4,5% никеля	45,5	45,0	0,70	14,5	13-24	0,5-1,3
Сталь толстая с 6-8% никеля	56,0	50,3	0,73	2,5	18-39	30-120
Листовая чистая сталь	55,0	58,6	1,01	15,0	150-300	1500-3000
Сталь толстая с 4,75% никеля	85,0	52,1	1,03	-	15	30
Сталь толстая с 15,50% никеля	117,0	63,0	1,01	-	10	100
Металлокерамика	22,0	2,7	1,16	62,0	25-35	350-450
Металлокерамика	31,4	32,8	1,13	11,0	4,3	0,005
Латунь	32,6	5,4	0,84	65,5	100	1,8

2)  $\delta$  - относительное отклонение показания  $C_{t,1}$  - показания при скорости  $\sigma_t$  - прямое

сопротивления;  $\delta$  - показания прямойной термостойкости.

раст упругостики трещи и разные дают разные величины износов. Весь геометрический фактор становится незначительной. На геометрических подобных образцах указанные тенденции наблюдаются как в условиях чистого изгиба (рис.5), так и при однократном растяжении-сжатии. Различие только в том, что при изгибе образцов так же происходит к изменению скорости роста упругостики трещи. В то же время длина образцов по длине Бадегана Н.К. не влияет на скорость роста.

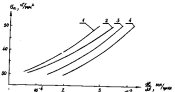


Рис. 5. Зависимость геометрических размеров износов образцов из стального сплава от скорости роста трещи упругости при изгибе в условиях чистого изгиба:  
1 - 1000 мм, 2 - 500 мм, 3 - 250 мм,  
4 - 100 мм

### 3. 6. Показание температура окружающей среды в частоте циклов на скорость роста трещи упругости

Важно известно, что никакие температуры не зависимость являются параметром в сопротивлении сдвигу параллельно оси образцов (длительность). С повышением температуры времена смещения в области низких значений длительности. Это можно доложить показывает, что скорость роста трещи должна увеличиваться с повышением температуру испытаний. Изменение температура окружающей среды результат прямых экспериментальных исследований на сталь и никелевые сплавы получены для данной задачи. Например, по экспериментальным данным Га-

алюминия на мягкой стали скорость роста увеличивается в 2-3 раза с изменением температуры от -40°C до +40,5°C. Такие же изменения скорости роста наблюдаются на алюминиевом сплаве Родионова и Никольского при изменении температуры от +20°C до +35°C. Известно также, что с изменением концентрации переносимых загрязнений значение температурного фактора уменьшается.

Однако есть и выключения. Так в типах II и III изменение скорости роста транзита уменьшается с увеличением температуры.

Быстроотжигающие экспериментальные результаты показывают, что скорость роста транзита уменьшается с увеличением частоты нагружения (изменение частоты нагружения в сотни раз соответствует изменению скорости в несколько раз) и с повышением уровня действующих напряжений (изменение частоты стоящих сдвигов).

Быть может интересно заметить, что уменьшение скорости роста транзита с увеличением частоты нагружения согласно с уменьшением времени задержки при высоких напряжениях и уменьшением скорости роста напряженной зоны. Влияние скорости разгрузки и формы цикла несущественно.

Очевидно существуют три основных фактора, которые способствуют уменьшению скорости роста с увеличением частоты. Во-первых, скорость роста связана с величиной пластической деформации в процессе каждого цикла изменения нагрузки (при высоких частотах может сократиться задействованное время для измерения пластической деформации). Во-вторых, следует сказать, что влияние атмосферной коррозии будет сокращаться в меньшей степени при высоких частотах нагружения. Видимо, изменения температуры материала с изменением частоты цикла гистерезиса имеют также некоторое приведение к снижению скорости роста.

## Г л а в а II КОРРОЗИОННАЯ УСТОЙЧИВОСТЬ МАТЕРИАЛОВ

### § 6. АДСОРБИОННАЯ И АДСОРБИОННО-ДЕТАКТИВНАЯ ДИФФУЗИОННАЯ КОРРОЗИОННАЯ УСТОЙЧИВОСТЬ

Вот уже много лет известны конструкции чисто коррозионирующиеся в определенных различных видах сред — смачивающих масла, в воде и соли растворах, в атмосфере химического воздуха и др. Указанные среды могут оказывать влияние на механизмы свойства металлов и сплавов, особенно при длительном нагружении.

Л. А. Ребиндером установлено, что коррозионно-активные среды — смачивающие масла, масляные эмульсии и др. — усиливают сорбционную деформацию и разрывание твердых тел в связи с аморбцией поверхности-активных элементов среды (адсорбционный эффект Ребиндера).

Поверхностно-активные среды могут усиливать сорбционные явления пассивации материалов. Так, например, при испытании в среде смачивающих масел предела пассивности конструкционных сталей может повышаться на 10-20%, во сравнении с пределом пассивности на воздухе (рис. 6). Влияние устойчивости металлов, происходящее в поверхности-активных средах, называется адсорбционной устойчивостью.

Обобщено описание для устойчивой прочности сопротивления коррозионным металлическим материалам является концепция коррозионной среды. Вторым обобщением концепции коррозионной устойчивости является Тейлор и Аткинсон в 1917 г.

В нашей стране систематическое исследование коррозионной устойчивости металлов началось в конце 40-х и в начале 50-х годов. К последовательности этого периода относятся работы А. С. Ребиндера, Я. А. Гаврилова, Г. В. Баранова и др.

При длительном пассивировании загруженных в изучаемой сре-

22

и у большинства конструкционных металлов в связи с избыточной коррозионной способностью, то срываются с поверхности в воздушной среде. Края коррозионной усталости, как правило, не имеют горизонтального участка и сплошного покрытия даже при близких типах трещин (рис.7).

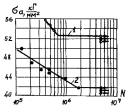


Рис.6. Кривые усталости стали 40 Гц в воде (1) и в антикоррозионном масле МГ (2)

Основным критерием сопротивления материалов коррозионной усталости является уголок предела коррозионной усталости, за который принимают наибольшее напряжение, не вызывающее разрушения от усталости до заданного (безынергетического) числа циклов от усталости одновременного действия коррозионной среды и изгибающих напряжений. Заданное число циклов изгибающей оболочки принимают равным  $(10 \cdot 60) \times 10^6$ .

Коррозионная среда сильно снижает прочность большинства конструкционных металлов и сплавов. Так, Г.Л.Бернхольц наблюдал снижение в 22 раза усталостного предела коррозионной усталости в сероводородной среде, замененной на коррозионную среду марки 40, то срываются с пределом усталости в воздухе.

Следует отметить приведенную ранее разницу между действием коррозионной среды и первичных напряжений. Предварительный изгиб может существенно повышать прочность при последующем испытании в воздухе. Однако

крайне усталости в этом случае имеет горизонтальный участок. При одновременном действии коррозионной среды и первичных напряжений коррозионная среда сначала понижает прочность и края усталости ее об окружают горизонтального участка.

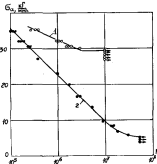


Рис.7. Кривые усталости стали 35 Гц в воде (1) и в 9%-ном растворе NaCl (2)

Зарегистрировано особенность коррозионно-усталостного разрушения материалов, состоящих против коррозии - это погружение в них одновременно изображенного биметаллического типа трещин в, как правило, многослойном сплаве. Края этой трещины имеют максимум длины от перехода до разрушения коррозионно-усталостных трещин, то срываются с переходом к разрыву. Жила одна из зародившихся трещин достигает опасных для прочности сфериков размеров и превращает в излому, другие трещины устанавливают значительную перегородку.

Г.Л.Бернхольц систематизировал большое количество экспери-

металлических дамах не коррозионной устойчивости углеродистых, легированых и сплавов на их основе. Согласно этим данным, в зависимости от химического состава и термической обработки у тех сталей, у которых прочность зависела от воздуха, прочность от 15 до 25 кг/мм<sup>2</sup>, усадка при коррозии коррозионной зависимости на базе (30x50) сталь в пресной воде равна 10-15 кг/мм<sup>2</sup>, а в соленой или морской воде 4-10 кг/мм<sup>2</sup>. При этом значение усадки при коррозии коррозионной зависимости для этой группы сталей практически не зависит от величины предела прочности на воздухе (рис.8).

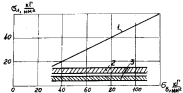


Рис.8. Зависимость предела прочности на воздухе предела коррозионной зависимости от различного содержания для различных сталей:  
1 - воздух; 2 - пресная вода; 3 - морская вода

Подобные результаты получены Г.В.Баранко при испытаниях семи марок 30Х, 40Х, 45 и ХН55 в различных структурах со стружкой.

Эти данные показывают, что применение сопротивления к цепям коррозии и воздуха не могут быть критериями коррозионно-устойчивости прочности конструкционных сталей. Однако способ повышения прочности и коррозионной стойкости общей термической обработки и изменения химического состава приставки не приводит к снижению ее коррозионно-устойчивой прочности. Поэтому эффективнее применение антикоррозионных и термических обработок сталей для отвечающих деталий и конструкций, воспроизводящих при одновременном действии коррози-

оне, водородную и коррозионную среды, возможно только в условиях эффективной защиты стали от ее отрицательного влияния.

Процесс макроэлектролитической коррозии металлов зависит от природы концентрата и происходит по различу в ионах, имеющихся в избранной среде. Поэтому в избранной среде (водные растворы солей, пресной и морской воды) дегидратации кислорода проходит, в основном, за счет кислорода, растворенного в воде, то коррозийность среды во многом обусловлена концентрацией кислорода в его доступности к металлу. Однако высокая концентрация кислорода в среде может привести к замедлению коррозионного процесса в связи с уменьшением стойкости поверхности металла.

Рост концентрации кислорода в воде увеличивающей концентрации повышает интенсивность коррозионного процесса вследствие появления макроэлектролитического раствора в действии окислительно-воздуха - О<sub>2</sub>, ускоряющего течением скорость процесса. Но при избыточной концентрации уменьшается растворимость кислорода, что может привести к снижению скорости коррозии. Как видно из рис.9, с увеличением концентрации NaCl уменьшается усадка при коррозии коррозионной зависимости. Это показывает, что увеличение признака концентрации, постоянно уменьшается и достигает минимума при концентрации соли 3%, после чего поддается даже некоторое снижение прочности.

Г.А.Такимо и Д.Л.Судзуки исследовали коррозионно-устойчивость прочности стали марки 35 в разных средах: в воздухе, водопроводной воде, синтетической термокоррозионной и соленой воде, а в 3%-е растворе NaCl. Результаты исследования показали, что во всех указанных сред-

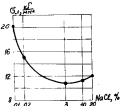


Рис.9. Зависимость усадки при коррозии коррозионной зависимости стали 35 от концентрации раствора NaCl.

наиболее агрессивным по коррозионному износу на коррозионно-устойчивую прочность стали является соленая вода в 3%-ном растворе  $\text{MgCl}_2$ . Влияние соли на прочность стали в 3%-ном растворе  $\text{MgCl}_2$  оказывается двойным и зависит от концентрации соли. В связи с этим следует признать ограничение применения коррозионной устойчивости утверждений о влиянии галогенированных стабилизаторов 3%-го раствора  $\text{MgCl}_2$  в качестве коррозионной среды, имитирующей морскую воду.

При изучении коррозионной устойчивости основания для фундаментов приведено описание долговечности и предела выносливости образцов, испытанных на износостойкость в воздухе. Одним из исследований Гуя и Симона, Годскуорта, И.С. Бланшар и других показано, что износ не является изолированной средой. В зависимости от уровня изнашивания, износостойкость воздуха и изнашивания в нем неизменна, изнашивание происходит, долговечность износостойкости и износостойкости при переходе от атмосферного давления к избыточному может изменяться в десятки раз.

Следует также, на практике производят много дело по с "чистой" устойчивостью в земной среде, т. глинистом образов, с коррозионной устойчивостью. Обычно испытания на устойчивость проводятся на воздухе, являются испытаниями на изотермическую устойчивость в условиях воздействия коррозионной среды такой атмосферы.

Быстро развивающихся сред из-за скорости роста установленных границ не однозначно. Во многих исследованных случаях отмечается роль инсектицида и пестицида, или временных активных сред, способствующих генетической скорости роста тканей.

Бывают исключения из этого правила, но это исключение. Важно отметить, что в случае с водородом скорость роста трещин в водороде не зависит от концентрации водорода, а зависит от концентрации кислорода. Это означает, что в водороде скорость роста трещин не зависит от концентрации водорода, а зависит от концентрации кислорода. Это означает, что в водороде скорость роста трещин не зависит от концентрации водорода, а зависит от концентрации кислорода.

#### **REFERENCES AND NOTES**

Для титановых сплавов скорость роста усталостных трещин в среде 3%  $\text{Na}_2\text{SO}_4$  в динамическом ходе заметно больше, чем в атмосфере воздуха. В литературе имеются некоторые доказательства того, что движущимся сопротивлением титановых сплавов распространению усталостных трещин в металлах среди сплавов с их аналогами в металлическом растворе.

<sup>4</sup> Dr. George L. Jackson, personal interview, 2000-07-11.

Реализация методов и схем волгодонского химического или электротехнического производства в нашей среде называется коррозией. Известные коррозии металлов находятся в сухих газах и жидких диэлектриках и являются результатом химического воздействия среды о металлах.

Важным распространением зоны коррозии является контактно-механическая коррозия в электропроводящих агрессивных средах - в растворах электролитов. К электроразрядам относятся облака, молнии и осаждение.

В соответствии с существующими представлениями изотермичность процесса в растворе электролита является корректировкой многоатомарных гидратационных коэффициентов, описываемых со помощью количества макроионов. Возможность гидратации ионов определяется структурой макроионов:

- a) металлической фазы, в связи с гетерогенностью и структурными особенностями металла;
  - b) пакет сажи в загрязнений на поверхности металла;
  - c) жидкой фазы, связанной с различной концентрацией в межтканевых пространствах металла, новых растворенного вещества и газов, способного адсорбироваться.

Замерзание воды приводит к разрыванию поверхности льда на мелкие и крупные участки. Участки с более отрицательными коэффициентами потери тепла образуют щели, на которых концы льда могут переходить в раствор и возникает застывание. Участки с более положительными коэффициентами потери тепла образуют щели, на которых происходит таяние свободных кристаллов.

В последнее время было выработано несколько новых методов изучения строения мозга и мозгового вещества посредством

коррозионную устойчивость металлов. Однако единого мнения о механизме этого явления нет до сих пор. Такое положение во многом отражает состояние проблемы коррозионной устойчивости в целом и ее сложность.

В растворах изолирующих переносчиков, действующих на ионы, например его разбавленном водородом растворе солейного водородного иона  $H^+$ , в некоторой степени, несмотря сообщением ионами свободной энергии  $H^+$ , следовательно, уменьшена работа выхода ионов-сольватов металла в раствор.

Однако гипотеза здесь неясна то, что механизм коррозионного потенциала металла происходит параллельно, то есть, сосредоточившись в ионах концентрации водородной (на два ряда, углубленной, коррозии и ионов, ион  $H^+$  и т.д.) и в других ионоконцентрациях или солесодержащих участках поверхности металла. В результате этого возникают специфические (ползучесть и действие только под давлением ионов) коррозионные элементы: ион - для концентрации водородной или участка с разбавленностью потенциала, ион - синие участки поверхности металла. Существование коррозионных элементов (ион - для ионов, ион - отрицательная в синем участке поверхности образца) экспериментально доказано А.Б.Родченко.

В результате действия специфических коррозионных элементов у первичного-изолирующих металлов коррозия протекает избирательно и с большой скоростью, сосредоточившись на ионах по выходу ионных участков, где в результате действия коррозии удаляются. Во мере развития коррозионного удаляется коррозионных элементов  $H^+$ , как следствие, увеличивается скорость проявления коррозии ядерной металла. В результате этого проявляется образование плавления и сдвигов изолирующие коррозионные элементы - трещин коррозионной устойчивости (рис. 10), развитие которых обуславливает склонность к разрушению.

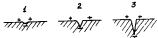


Рис. 10. Схема развития трещин коррозионной устойчивости (по Зандту).

Таким образом, составлено электротехнической теории основное роль в процессе коррозионно-устойчивого разрушения придается коррозионному фактору. Роль ионов-сольватов сводится только к созданию и облегчению эффективной деформации изолирующих коррозионных элементов.

Наконец, предложенный Я.А.Гильманом, также отражает роль ионов-сольватов в процессе коррозионно-устойчивого разрушения и сводится к следующему. При ионизации на воздухе устойчивое покрытие разрушается в отдельных "слайдах" зерен, т.е. в таких микросферах металла, в которых совпадают природные свойства или ориентация границ этого приводят пластичные деформации. В результате этого проявляют упругость, которая по мере циклического нагружения увеличивается и достигает предельного состояния, производимого и разрушение субкоррозионного разрушения синхронно - "разрывания". При "разрывании" краевые прочности металла погибают и в некоем виде достигают уровня действующих напряжений, после чего образуется микроскопическая трещина, развитие которой приводит к образованию микроскопической трещины. По Гильману основная роль коррозионного фактора сводится к усилению и ускорению процесса "разрывания" и, тем самым, к ускорению перехода трещин устойчивости. Пластичные деформации "в синеве" являются причиной трещин и являются основным фактором коррозионных элементов, являющихся коррозии синей скоростью. Поэтому при высоком уровне коррозии, водородной скорости гидроактивации коррозии будет, в основном, определяться ионной пластичной деформации, а также в меньшей мере.

При амплитудах коррозии, когда преодолевается ионами пластичные деформации, процесс разрушения будет определяться скоростью коррозии в результате действия специфических коррозионных элементов.

Д.Б.Карпенко предложенная аэрообразно-электротехническая теория коррозионной устойчивости, согласно которой на стадии разрушения микроскопических трещин устойчивости развиваются плавление ионов-коррозии, выделение и диффузия водорода в металле с вытеснением водорода с межатомной межпримесью. Несмотря на развитие коррозионно-устойчивого разрушения предполагается фазовая.

Следует отметить время от начала циклического нагружения

в наиболее интенсивных зонах изнашиваются металла происходит сдвиги на основе "изменения существующих по зонам твердых тел" дефектов типа износостойких разнотвердостных. Адсорбция изнашивающегося материала среди зерен этого труда способствует превращению их в "глыбы", т.е. изнашивающие образование сдвигов. Это вызывает ускорение образования и увеличение количества сдвигов, на основе которых возникает трещина усталости. Рост трещин усталости происходит вследствие действия изнашивающих износометрий от адсорбции и коррозионного разрушения или в результате исходного разрушения металла в связи с действиями специфических коррозионных агентов.

Адсорбционно-изнашивательная теория, краинко уточняемая, возникающая адсорбционного механизма прочности металла, износа и коррозии, подчеркивает роль изнашивательных процессов. Исследовательские данные по влиянию прочностной зоны, износа зерен среди из коррозионно-усталостной прочности и нечто другое опровергают то, что изнашивательные износы имеют значение только в процессе усталостного разрушения и коррозионно-изнашивания зерен.

Следует отметить, что рассмотренные выше теории коррозионной усталости дают только качественную картину явления. В рамках этих теорий можно дать объяснение роли износа коррозионной усталости, но без каких-либо количественных соотношений. Необходимы количественные данные о наложении зерен можно получить только путем проведения соответствующих экспериментов.

## § 11. Влияние некоторых факторов на коррозионную усталость

### Концентрации изнашивающей

За последние 15 лет выполнено большое число исследований по изучению влияния концентрации изнашивающей на коррозионно-усталостную прочность упомянутых в изнашивательных стадиях и изнашивании сдвигов, в которых влияние концентрации изнашивающей изучалось путем статистических методов обработки и с измерением изнашивающей износостойкости при износе с трением. Концентрации изнашивающей определялись при износе из образца другого. У-образных изнашивающих решеток сопротивление износа, как правило,

зако., 35-й раствор  $\text{MgCl}_2$  в воде.

График износа

усталости, получаемый в результате изнашивания глыбами и изнашивания образцов из изнашивательных сталей представлена на рис. 11. В табл. 2 приведены результаты изнашивания - предела износостойкости - предела износостойкости ( $S_{\text{u}}$ ), уточнение предела износостойкости износа - от 50000 до 100000 циклов ( $S_{\text{u},\text{c}}$ ) и коэффициент изнашивания концентрации изнашивающей стали марки 35 в МИИТА (издание автора, Г.П.Бахилова и др.).

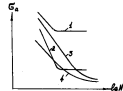


Рис. 11. Кривые износа глыбами (1, 2) и изнашивающей (3, 4) образцов из изнашивательных сталей в воде (1, 2) и из коррозионной среде (3, 4)

Таблица 2

Марка стали и прочность образцов	В воздухе			В 35-м растворе		
	Скорость износа, $S_{\text{u}}$ , кг/м <sup>2</sup>	Образцы с изнашива- ющей, $S_{\text{u},\text{c}}$ , кг/м <sup>2</sup>	$K_s$	Образцы изнашива- ющей, $S_{\text{u},\text{c}}$ , кг/м <sup>2</sup>	Образцы с изнашива- ющей, $S_{\text{u}}$ , кг/м <sup>2</sup>	$K_s'$
Сталь 35, $d = 6$ мм	29,4	11,8	3,45	6,4	4,7	1,15
Сталь 35, $d = 10$ мм	20,0	7,0	3,95	11,0	10,0	1,10
Сталь 35, $d = 20$ мм	30,0	8,8	3,55	11,0	11,5	0,95

Представление данных сводится к тому, что суммарное сопротивление изнашиванию изнашивающей износостойкости из-

коррекционно-утешительную пропись исходящих выражений, то суждение о предположении при изложениях в общих, атмосферных условиях. Это особенно отчетливо проявляется при изложении болевых образований, при которых долготечность и в сущности излишней в языковой выразительности.

По мере увеличения пластичной долговечности краев коррозионной устойчивости плавно в подразумеваемом смыслах. При больших долговечностях прочность подразумеваемых образцов становится слишком большой и происходит потеря пластичности образцов. При конструировании в коррозионной среде эффективные компоненты конструкции называются балансом и т. д.

Согласно сказанному, что влияние концентрации изомерной и валентно нейтральной среды на вибрационные упругородкости и диполь-дипольные взаимодействия стабильны во времени, влияние концентрации изомерной и валентно нейтральной среды на гибридные обменные, а также на концентрации изомерной из обменных, изотопных и гибридных. Этот концептуальный анализ этих факторов должен производиться по результатам количественного обращения с концентрическими изомерами в дипольном союзе.

Достоинство, что уменьшение структурного износа изолированной подсистемы не коррелирует уменьшению износом структурного износа коррозионной среды на износом изолированной обработки, но сопровождается им. Показатели износостойкости обуславливают этот факт эффективной долговечности изолированного элемента: изод - это изолированная изогнутая (изодра), изота - симметричные участки изогнутости обработки, возникающие при изолированной нагрузке изолированного обтока в коррозионной среде.

При классических выгнувшихся образцах в коррозионной среде в разгаре идетработка этого коррозионного элемента на два анода бывает практически пропадание коррозии. Несимметричные коррозии приводят к разрыванию для анодов, это приводит к тому самым, что можно концентрации растворений. По Л.А.Соколову, несимметричные коррозии на два анодов имеют признаки и отрывание тонкого слоя металла с узкими зонами коррозионных трещинами устойчивы и, как следствие, к долговечности образца.

#### **REFERENCES**

При изысканиях в атмосферных условиях предел выносливости определяется при увеличении размеров образцов (изменение размеров размеров изогнутого стекла). В зависимости от времени изысканий можно исследовать влияние размеров образца на изогнутое упругость изогнутого стекла. Воздействие изогнутого стекла происходит, как правило, путем сокращения изогнутой формы радиуса изгиба (от 5 до 150 м) из зависимости при изыскании с временем. Коррозионной средой чаще всего служит 3%-ный раствор  $\text{HgCl}_2$  в воде. Изменение расположения края упругости, обратное для расположения таких изогнутых, показано на рис. 12.

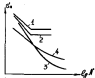


Рис. 12. Краевые условия для (1. 3) и (1. 4) вблизи края, соответствующего (1. 3) вблизи края, соответствующего (1. 4).

Края коррозионной установки (см. рис. 12) показывают, что наименьшие размеры обнаружены в начальной стадии износа от базы циклического воздействия. При дальнейшем подобных циклических воздействиях обнаружены обратный, отрицательный износовой эффект: износостойкость бывших образцов меньше, чем новых. С увеличением базы циклической нагрузки износ уменьшается и погрешности становятся положительными, т.е. при большой длительности циркуляционного воздействия износ бывших образцов выше, чем новых.

В табл. 3 приведены (по данным Г.Д.Баринова и Р.Г.Петровского) величины пределов прочности стали 40Х на базе 50-100% циклов. Из этих данных видно, что увеличение диаметра образцов от 3 до 40 мм приводит к изменению условных пределов изреженной усталости для пакетных образцов в 1,5, а для изогнутого в 2,0 раза.

Установлено, что НИК-установкой прочности бояльки обработаны по сравнению с машинами других производителей отличаются тем, что одно и то же коррозионное покрытие (коррозионная лакировка, эпоксидка и др.) относительно машин различают

бывшими образами, чем можно. Кроме того, возникшие на ранней стадии политики труда и корпоративной угодности отвечают гораздо больше ожиданиям избирателей новых образов, чем бывшего и этим обусловливает наибольший процентный пункт.

Textbook 2

Измер. обратим., мк	Трещинная износостойкость, кг/м <sup>2</sup>			
	В вакууме		В 75%-ном растворе АБ-01	
Образцы изолиров.	Образцы с изолиров.	Образцы изолиров.	Образцы с изолиров.	
5	33,0	24,0	7,0	3,0
20	28,0	21,5	8,5	7,0
40	25,0	20,0	10,5	8,5

#### **REFERENCES**

Известно, что качество поверхности после механической обработки: износостойкость, антикоррозийная концентрация износостойкости, является износостойкостью самого материала, отвечающие напряжения и фазовые превращения в нем в результате нагрева при обработке склоняются к большему влиянию на устойчивость износостойкости деталей в эксплуатации, в особенности на высокочастотной стадии в стадии.

Влияние этих факторов на зависимость деталей в коррозионных средах пока еще мало изучено. В. И. Бадеев и Г. В. Ефремова исследовали коррозионно-устойчивость прочности стали 45 в 1% растворе 5% С<sub>6</sub> после токарной обработки образцов с различными режимами резания и напряжения. Благоприятны для коррозионно-устойчивой прочности этой стали являются те режимы механической обработки, которые создают разномерные со временем детали с одинаковыми напряжениями сжатия, разномерные износ и антикоррозионные свойства износостойкого слоя. Частота обработки износостойкости не оказывает решающего влияния на коррозионно-устойчивую прочность стали.

卷之三

The Journal of Politics, Volume 73, Number 4, December 2011 • DOI 10.1215/00223816-11-001

одного излучения на предел износостойкости металлов. При измени-  
тии частоты нагружения в широких пределах от 10 до 2000 герц  
предел износостойкости может изменяться на 10–20%. При переходе  
в высокие рабочие частоты (10–15 циклов в минуту) возможен из-  
менение характера износовой поверхности.

При испытаниях в коррозионных средах частота нагружения оказывает большое влияние на величину усталостной прочности сталей и алюминиевых сплавов. С увеличением частоты нагружения коррозионно-усталостная прочность становится тем больше, чем больше была начальная коррозия (рис. 13) и коррозийная восприимчивость.

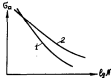


Рис. 13. Краска, полученная из  
гемоглобина при температуре (1) и  
при температуре (2) вакуумной выпарки.

Повышение износостойкости при износающих в воздуш-  
е с высокой частотой нагрузками объясняется повышением со-  
противления пластическому деформированию с увеличением скоро-  
сти деформации. В коррозионных средах увеличение частоты  
нагружения при одинаковой той же самой концентрации разделяемых  
установлены границы коррозионного разделяемого среды и, следо-  
вательно, длина пролета в зависимости от концентрации кор-  
розионно-усталостной прочности. Кроме того, повышение сопро-  
тивления пластической деформации с увеличением частоты на-  
гружения способствует уменьшению износостойким свойствам  
изделий, подвергаемых пластическим деформациям в коррозион-  
ных и, как следствие, повышение коррозионно-усталостной  
прочности.

• 12. На промежуточном этапе проектирования в плане с зонами разделения и зонами концентрации.

При обычной утварности на продажу предъявляются в различных формах рентабельные суммы, составляющие около 70-80% от продажи износостойкости под листом. Несколько иных показателей

зеленые дают константой с коррозионных средах сопоставимую с единицами в два раза меньшую пределы упругости стали при осевом растяжении-сжатии по сравнению с чугуном. Этот факт исследованием объясняет тем, что при изгибе образуются коррозионные ямы; изгиб - растяжение, изгиб - сжатие ткани коррозии образца, которые обуславливают повышенную скорость коррозии и, как следствие, более низкую упругость при изгибе, чем при растяжении-сжатии.

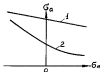


Рис. 14. Диаграмма предельной амплитуды цикла:

- $S_a$  - предельная амплитуда цикла;
- $\sigma_{\text{ср}}$  - средняя коррозионно-усталостная прочность;
- I - в воздухе, 2 - в коррозионной среде.

такой при изгибе на воздухе. При этом предельную амплитуду цикла следует умножить в соответствии со схемами предела коррозионной усталости при изгибе стали при изгибе, но разделено с пределом износостойкости на воздухе.

При коррозионной усталости средние схемы изгиба показают предельную амплитуду цикла относительно большую, чем при изгибе в воздухе (см. рис. 14).

Предельные изгибы при схемах изгибающих состояниях при усталости в воздухе достаточно хорошо обобщаются по 3-й и 4-й теории прочности для пластичных материалов и не уложены типа Бюрги для износостойких сталей и чугуна.

Исследование коррозионно-усталостной прочности при схемах изгибающих состояний проводится, как правило, путем симметричных изгибов образцов из пластичной стали в круглое.

Для износостойких и износостраивающих сталей в условиях воздействия агрессивных сред в приблизительной форме пределы коррозионной износостойкости при круглом ( $T_c$ ) и изгибе ( $S_c$ ) приведены ранее в обобщении по 4-й теории прочности (в воздухе  $T_c = 0,55 S_c$ ). Однако при изгибе других, более стойких против коррозии материалов (износостойких других), более стойких против коррозии материалов (износостойких сталей, стальных металлов в склону или при изгибе из зеркально-агрессивных средах)  $T_c$  может составлять (0,5-1,0)  $S_c$ .

Следует заметить, что существующие критерии в теории прочности материалов при схемах изгибающих состояниях не могут непосредственно использоваться для схемы сопротивления материалов коррозионно-усталостному разрушению, так как они не учитывают условий изгиба. Схемы для обобщения сопротивления материалов коррозионно-усталостному разрушению должны учитывать коррозионную стойкость материала, агрессивность среды, базу циклического воздействия и другие факторы.

#### 4.13. Коррозионно-усталостная прочность износостойких сталей в склоне

Для износостойких и износостраивающих из коррозионных средах, часто применяемых стойкими против коррозии материалами: деревянные стеки, титановые и никелевые стали и др. Исследования показали существование различия для этих материалов отрицательного влияния коррозионных сред на их склонение к прочности. Так, у износостойких и износостраивающих износостойких сталей маркированного и ферритного классов пределы износостойкости в морской воде в 2-3 раза меньше, чем в воздухе. У многих недорогих сталей, износостойких износостойкого класса и титановых сплавов, различие между усталостной прочностью в воздухе и морской воде незначительное.

Возможно из этих материалов с достаточной износостойкой износостойкостью может в некоторой коррозионно-усталостной прочности и могут эффективно использовать для изготавливания деталей, эксплуатируемых в условиях одновременного воздействия изгибающих напряжений и коррозионной среды.

В настоящее время установлена ряд особенностей влияния различных конструктивных и технологических факторов на коррозионно-усталостную прочность износостойких износостойких сталей.

• Cognitivo: o tipo de humor é sempre associado com maior nível de humor.

По данным А.А. Григорьева и К.П. Бестрова для первичной стадии СДВГСФ проницаемость кристаллического кальция-титана зависит от времени при контакте в 3%-ном растворе  $\text{NaCl}$  следующим законом, что при контакте в воде. Исследование влияния температурного эффекта на коррозионно-устойчивость протекает этой же стадии показано, что при контакте в 3%-ном растворе  $\text{NaCl}$  с увеличением диаметра поверхности сечения образца (от 10 до 60 мм) предел износостойкости повышается в большей мере, чем при контакте в воде.

Таким образом, влияние концентрации выщелачиваний на коррозионно-устойчивость крепкого перманганата стальной бутилово-марганцевого класса марок СИЛЛАМПАРУ и СИЛЛАМ. Изменение в концентрации кислот при проявления образцов гальванических и

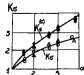


Рис. 13. Зависимость коэффициента концентрации изотропной зоны от величины концентрации ( $K_1$ ) и вязкости

состав (K<sub>2</sub>O):

отрицательное значение концентрации насыщенной газа. Использовано

Последовательность частот обработки изображения на коррекционно-уточнительной стадии не стабильна, что можно видеть схематично зависимостью обработка групп обработаний, или тягами обработок. Так, например, для схемы СИЛУЭТ среда изображения изображения обработка (у 35 и 44 строк) не является для каждого группой подобной.

до 41 кг/м<sup>2</sup>, т.е. всего на 7% для образцов из-под резки (У 8) ее снижали с 36 кг/м<sup>2</sup> до 24 кг/м<sup>2</sup>, т.е. на 37%.

#### 3.14. Mean error of measured errors

Начиная обоснованный набор методов изучения детской и юношеской от коррекционной утомляемости может быть сделан только с той целью, когда первые шаги являются этапом в виде разработки. Рассмотрение выше данных свидетельствует о том, что механизмы коррекционной утомляемости проявляются как в виде интенсивности нагрузки. Поэтому методы изучения от коррекционной утомляемости пока ограничиваются на общих представлениях об электротехнической природе этого явления и результатами приемов терапевтических восстановлений.

В экспозиции в залах применяются различные методы изображения, включая иллюстрации и макеты из различных материалов.

1. Использование изолирующих материалов, способных притянуть отрицательного заряда коррозионной среды за их устойчивую противоположность (изоляция стали, титановых и медноникелевых сплавов и др.). Этот метод применяют в тех случаях, когда другие методы защиты оказываются малоэффективными или невозможными.

## **2. Основные детали и конструкции изотропных сотовых материалов**

3. Металлические покрытия. Защита от коррозионной устойчивости с помощью металлических покрытий основана на изоляции поверхности металла от воздействия коррозионной среды, на антикоррозионной защите в первом и третий покрытий (такие покрытия можно не отнимать в производстве металла) и на создании барьерных покрытий в поверхностных слоях защитированного металла. Например, по данным лаборатории исследований эффективности оказались цинковые покрытия, которые позволяют восстановить предел прочности стали в горячей воде от 80-90% от его значения в воздухе. Покрытия прозрачны, а также находятся во отношении к стали нейтральны и имеют коэффициенты изнашиваемости выше покрытий и в связи с тем, что при их изнашивании металлы возникают отрицательные параллельные реалистичные, отрицательные влияния на коррозионно-устойчивость покрытия.

4. Металлические покрытия. Действие этих покрытий основано на том, что они защищают металл от действий коррозионной среды. И этим покрытиям отводят земли, краски, антикоррозийные смолы, резины и т.д. Некоторые из этих материалов весьма эффективно защищают металлы. Однако полимеристы отмечают, что данные покрытия легко разрушаются и поэтому их применение требует защиты самих покрытий от механических воздействий.

5. Протекторные и катодные защиты от внешнего источника тока. Эти методы защиты от коррозии основаны, так же как и вообще защита от коррозии, основана на анодовой поляризации металла с помощью протекторов или внешнего источника тока. Однако для эффективной защиты от коррозии ток источника тока может потребовать значительного количества тока, чем для защиты от коррозии.

6. Гарячее покрытие: слои металла путем плавки электротехнической лафутники (дробеструйная обработка, обжиг роликов), покрытий пакетами, пастеризацией, спекированием, спиральформированием и других плавко-термических методов. Эффективность этих методов обуславлена, пожалуй, тем, что они создают в покрытиях слои металла с отличными антикоррозийными свойствами, благоприятно влияющими на коррозионную устойчивость прочности.

7. Комбинированные способы защиты. Например, эффективны различные цинковые покрытия по дробеструйно-обработанным поверхности, оббиты роликами с анодной пленкой и др.

## Г л а в а V

### СТАТИСТИЧЕСКАЯ ОБРАБОТКА ЭКСПЕРИМЕНТАЛЬНЫХ ДАННЫХ

#### 5.1. Методика статистической обработки результатов измерений концентрации

При замахе результатов измерений на углахую часто возникает необходимость изматического представления изучаемых участков краин углахии в связи с различием изучаемых результатов. В этом случае можно воспользоваться методом статистической обработки углахий измерений, предложенным Ч.Б.Шанкином<sup>1)</sup>. Этот метод позволяет получать уравнения перестроенных участков углахий краин с различной вероятностью измерений, учитывая различия джеров в зависимости от уровня измерений. Метод дает дробеструйную перестройку при симметричном максимуме объема экспериментальных данных (при таких обработках  $\lambda = 15 \times 20$  см/кв. смело, не превышают 10%). Необходимым условием применения метода Шанкина является линейная зависимость между измерениями и дробеструйными в плоскостроительных ( $\delta \rho C_{\alpha} - \delta \rho C^{\alpha}$ ) или хроматических измерениях ( $C_{\alpha} - \delta \rho C^{\alpha}$ ). Поэтому предварительно, путем графического анализа, подбирают систему координат, в которых разбросы измерений лучше выражаются линейной зависимостью и в этих координатах проводится статистическая обработка.

Техника статистической обработки экспериментальных результатов по методу Шанкина сводится к следующему: например, при использовании логарифмических координат:

1) О другом методе см. монографию Н.Н.Степанова "Статистическая обработка результатов измерений концентрации", Москва, 1972 г.

$$1... (\mathcal{G}_k)_i; (\mathcal{N}_k)_i; \alpha_i;$$

$$2... (\mathcal{G}\mathcal{G}_k)_i; (\mathcal{G}\mathcal{N}_k)_i;$$

$$3... \frac{\partial}{\partial t}(\mathcal{G}\mathcal{G}_k)_i; \frac{\partial}{\partial t}(\mathcal{G}\mathcal{N}_k)_i;$$

$$4... \mathcal{G}\mathcal{G}_k = \frac{1}{n} \sum_i^n (\mathcal{G}\mathcal{G}_k)_i; \quad \mathcal{G}\mathcal{N} = \frac{1}{n} \sum_i^n (\mathcal{G}\mathcal{N}_k)_i;$$

$$5... y_i = (\mathcal{G}\mathcal{G}_k)_i - \mathcal{G}\mathcal{G}_k; \quad x_i = (\mathcal{G}\mathcal{N}_k)_i - \mathcal{G}\mathcal{N},$$

$$6... m_{xy} = \frac{1}{n} \sum_i^n y_i; \quad m_{yy} = \frac{1}{n} \sum_i^n x_i;$$

$$7... y_i^2; \quad x_i^2;$$

$$8... \frac{\partial}{\partial t}x_i^2; \quad \frac{\partial}{\partial t}y_i^2;$$

$$9... \delta(\mathcal{G}\mathcal{G}_k) = \sqrt{\left( \frac{\partial}{\partial t}y_i^2 \right) \frac{1}{n}}; \quad \delta(\mathcal{G}\mathcal{N}) = \sqrt{\left( \frac{\partial}{\partial t}x_i^2 \right) \frac{1}{n}}$$

$$10... x_i \cdot y_i; \quad 11... \sum_i^n x_i \cdot y_i; \quad 12... m_{xy} = \frac{\sum_i^n x_i \cdot y_i}{n}$$

$$13... \beta_{xy} = m_{xy} - m_{yy} \cdot m_{xx}$$

$$14... r = \frac{\beta_{xy}}{\delta(\mathcal{G}\mathcal{N}) \cdot \delta(\mathcal{G}\mathcal{G}_k)};$$

$$15... L = r + r^2; \quad 16... Q = \sqrt{\frac{L}{n}}; \quad 17... \frac{L}{Q};$$

$$18... m_n = r \cdot \frac{\delta(\mathcal{G}\mathcal{N})}{\delta(\mathcal{G}\mathcal{G}_k)};$$

$$19... S_x = \delta(\mathcal{G}\mathcal{N}) \sqrt{L};$$

$$20... S_{xy} = \frac{\delta(\mathcal{G}\mathcal{N})}{\delta(\mathcal{G}\mathcal{G}_k)} \cdot Q,$$

так

$(\mathcal{G}\mathcal{G}_k)_i$  - амплитуда выражений, соответствующих  $i$ -му образу;

$(\mathcal{N}_k)_i$  - джотоность, соответствующая  $i$ -му образу;

$\alpha_i$  - общая количество образов;

$\mathcal{G}\mathcal{G}_k$ ;  $\mathcal{G}\mathcal{N}$  - координаты центра распределения усвоенного множества экспериментальных точек;

$m_{xy}$ ;  $m_{yy}$ ;  $m_{xx}$  - квадратичные оценки линейных моментов;

$\beta_{xy}$  - квадратичный оцененный центральный момент;

$\delta(\mathcal{G}\mathcal{G}_k)$ ;  $\delta(\mathcal{G}\mathcal{N})$  - оценки ортого стандартных отклонений для центра распределения усвоенного множества;

$r$  - коэффициент корреляции;

$L$  - критерий линейности;

$\sigma$  - основная ошибка критерия линейности. Корреляция считается линейной, если  $|r| < 3$ ;

$S_x$  - квадратичное стандартное отклонение логарифма дозы-головы для центра распределения;

$A_{xy}$  - квадратичные оценки линейных моментов;

$m_n$  - линейная оценка линии регрессии.

Последняя стадия вычислений заключается в находке границы ошибки перегруженных участков кривых усвоенности с различной зернностью перегрузки:

$$\mathcal{G}\mathcal{N}' = -(1m_n + K_0 A_{xy}) (\mathcal{G}\mathcal{G}_k - \mathcal{G}\mathcal{G}_k') + \mathcal{G}\mathcal{N}'' K_0 A_{xy}, \quad (I)$$

где  $K_0$  - коэффициент, соответствующий данной зернности перегрузки.

Значение  $K_0$  следующее:

Несущая зернность перегрузки	10	20	30	40	50	60	70	80	90	100	110
$K_0$	1,04	0,95	0,88	0,82	0,76	0,70	0,65	0,60	0,56	0,52	0,49

Было проведено пример расчета по изолированной методике. Результаты по пунктам 1-6 и 10-12 (см. второго расчета) удобно занести в табличной форме (табл.4). Затем получается система изолированного уравнения I в соответствии с пунктом 9, 10-20:

$$9 \dots S(\lg \sigma_u) = \sqrt{34,976 \cdot 10^{-3} \cdot \frac{f}{l_2}} = 0,0516;$$

$$S(\lg \lambda') = \sqrt{3,0873 \cdot \frac{f}{l_2}} = 0,0348;$$

$$13 \dots \beta_{\eta_1} = -0,0246 - Q_{000} / Q_{005} = -0,0246;$$

$$14 \dots \gamma = \frac{-0,0246}{Q_{000} - Q_{005}} = -0,006;$$

$$15 \dots L = 1 - Q_{005}^2 = Q_{005};$$

$$16 \dots Q = \sqrt{\frac{A f \delta}{L}} = 0,024;$$

$$17 \dots \frac{L}{Q} = \frac{Q_{005}}{Q_{000}} = 4,62 < 3 \quad - \text{изолированный расчет};$$

$$18 \dots \sigma_u = Q_{005} \frac{Q_{005}}{Q_{000}} = 0,2355;$$

$$19 \dots \delta_p = Q_{005} \sqrt{Q_{005}} = 0,024;$$

$$20 \dots \delta_{\sigma u} = \frac{Q_{005}}{Q_{000}} Q_{004} = 0,020.$$

Также в соответствии с формулой (1) определяется граничное значение перегрузочных густот в рамках расчета:

$$\begin{aligned} \lg \omega' = & -10,253 + K_1 \cdot 0,020 / (\lg \sigma_u - 0,700) + \\ & + 5,581 \cdot K_2 \cdot 0,020. \end{aligned}$$

Таблица 4

$\frac{K_1}{K_2 \cdot \sigma_u}$	$(\lg \sigma_u)$	$(\lg \omega')$	$\frac{1}{\sigma_u} \cdot \lg \sigma_u \cdot \lg \omega'$	$\frac{1}{\sigma_u} \cdot \lg \omega'$	$\frac{1}{\sigma_u} \cdot \lg \omega'$
-0,00	1,778	0,058	0,000024	0,000024	0,000024
-0,02	1,778	0,058	0,000024	0,000024	0,000024
-0,04	1,778	0,058	0,000024	0,000024	0,000024
-0,06	1,778	0,058	0,000024	0,000024	0,000024
-0,08	1,778	0,058	0,000024	0,000024	0,000024
-0,10	1,778	0,058	0,000024	0,000024	0,000024
-0,12	1,778	0,058	0,000024	0,000024	0,000024
-0,14	1,778	0,058	0,000024	0,000024	0,000024
-0,16	1,778	0,058	0,000024	0,000024	0,000024
-0,18	1,778	0,058	0,000024	0,000024	0,000024
-0,20	1,778	0,058	0,000024	0,000024	0,000024
-0,22	1,778	0,058	0,000024	0,000024	0,000024
-0,24	1,778	0,058	0,000024	0,000024	0,000024
-0,26	1,778	0,058	0,000024	0,000024	0,000024
-0,28	1,778	0,058	0,000024	0,000024	0,000024
-0,30	1,778	0,058	0,000024	0,000024	0,000024
-0,32	1,778	0,058	0,000024	0,000024	0,000024
-0,34	1,778	0,058	0,000024	0,000024	0,000024
-0,36	1,778	0,058	0,000024	0,000024	0,000024
-0,38	1,778	0,058	0,000024	0,000024	0,000024
-0,40	1,778	0,058	0,000024	0,000024	0,000024
-0,42	1,778	0,058	0,000024	0,000024	0,000024
-0,44	1,778	0,058	0,000024	0,000024	0,000024
-0,46	1,778	0,058	0,000024	0,000024	0,000024
-0,48	1,778	0,058	0,000024	0,000024	0,000024
-0,50	1,778	0,058	0,000024	0,000024	0,000024
-0,52	1,778	0,058	0,000024	0,000024	0,000024
-0,54	1,778	0,058	0,000024	0,000024	0,000024
-0,56	1,778	0,058	0,000024	0,000024	0,000024
-0,58	1,778	0,058	0,000024	0,000024	0,000024
-0,60	1,778	0,058	0,000024	0,000024	0,000024
-0,62	1,778	0,058	0,000024	0,000024	0,000024
-0,64	1,778	0,058	0,000024	0,000024	0,000024
-0,66	1,778	0,058	0,000024	0,000024	0,000024
-0,68	1,778	0,058	0,000024	0,000024	0,000024
-0,70	1,778	0,058	0,000024	0,000024	0,000024
-0,72	1,778	0,058	0,000024	0,000024	0,000024
-0,74	1,778	0,058	0,000024	0,000024	0,000024
-0,76	1,778	0,058	0,000024	0,000024	0,000024
-0,78	1,778	0,058	0,000024	0,000024	0,000024
-0,80	1,778	0,058	0,000024	0,000024	0,000024
-0,82	1,778	0,058	0,000024	0,000024	0,000024
-0,84	1,778	0,058	0,000024	0,000024	0,000024
-0,86	1,778	0,058	0,000024	0,000024	0,000024
-0,88	1,778	0,058	0,000024	0,000024	0,000024
-0,90	1,778	0,058	0,000024	0,000024	0,000024
-0,92	1,778	0,058	0,000024	0,000024	0,000024
-0,94	1,778	0,058	0,000024	0,000024	0,000024
-0,96	1,778	0,058	0,000024	0,000024	0,000024
-0,98	1,778	0,058	0,000024	0,000024	0,000024
-1,00	1,778	0,058	0,000024	0,000024	0,000024
-1,02	1,778	0,058	0,000024	0,000024	0,000024
-1,04	1,778	0,058	0,000024	0,000024	0,000024
-1,06	1,778	0,058	0,000024	0,000024	0,000024
-1,08	1,778	0,058	0,000024	0,000024	0,000024
-1,10	1,778	0,058	0,000024	0,000024	0,000024
-1,12	1,778	0,058	0,000024	0,000024	0,000024
-1,14	1,778	0,058	0,000024	0,000024	0,000024
-1,16	1,778	0,058	0,000024	0,000024	0,000024
-1,18	1,778	0,058	0,000024	0,000024	0,000024
-1,20	1,778	0,058	0,000024	0,000024	0,000024
-1,22	1,778	0,058	0,000024	0,000024	0,000024
-1,24	1,778	0,058	0,000024	0,000024	0,000024
-1,26	1,778	0,058	0,000024	0,000024	0,000024
-1,28	1,778	0,058	0,000024	0,000024	0,000024
-1,30	1,778	0,058	0,000024	0,000024	0,000024
-1,32	1,778	0,058	0,000024	0,000024	0,000024
-1,34	1,778	0,058	0,000024	0,000024	0,000024
-1,36	1,778	0,058	0,000024	0,000024	0,000024
-1,38	1,778	0,058	0,000024	0,000024	0,000024
-1,40	1,778	0,058	0,000024	0,000024	0,000024
-1,42	1,778	0,058	0,000024	0,000024	0,000024
-1,44	1,778	0,058	0,000024	0,000024	0,000024
-1,46	1,778	0,058	0,000024	0,000024	0,000024
-1,48	1,778	0,058	0,000024	0,000024	0,000024
-1,50	1,778	0,058	0,000024	0,000024	0,000024
-1,52	1,778	0,058	0,000024	0,000024	0,000024
-1,54	1,778	0,058	0,000024	0,000024	0,000024
-1,56	1,778	0,058	0,000024	0,000024	0,000024
-1,58	1,778	0,058	0,000024	0,000024	0,000024
-1,60	1,778	0,058	0,000024	0,000024	0,000024
-1,62	1,778	0,058	0,000024	0,000024	0,000024
-1,64	1,778	0,058	0,000024	0,000024	0,000024
-1,66	1,778	0,058	0,000024	0,000024	0,000024
-1,68	1,778	0,058	0,000024	0,000024	0,000024
-1,70	1,778	0,058	0,000024	0,000024	0,000024
-1,72	1,778	0,058	0,000024	0,000024	0,000024
-1,74	1,778	0,058	0,000024	0,000024	0,000024
-1,76	1,778	0,058	0,000024	0,000024	0,000024
-1,78	1,778	0,058	0,000024	0,000024	0,000024
-1,80	1,778	0,058	0,000024	0,000024	0,000024
-1,82	1,778	0,058	0,000024	0,000024	0,000024
-1,84	1,778	0,058	0,000024	0,000024	0,000024
-1,86	1,778	0,058	0,000024	0,000024	0,000024
-1,88	1,778	0,058	0,000024	0,000024	0,000024
-1,90	1,778	0,058	0,000024	0,000024	0,000024
-1,92	1,778	0,058	0,000024	0,000024	0,000024
-1,94	1,778	0,058	0,000024	0,000024	0,000024
-1,96	1,778	0,058	0,000024	0,000024	0,000024
-1,98	1,778	0,058	0,000024	0,000024	0,000024
-2,00	1,778	0,058	0,000024	0,000024	0,000024

$$\sigma_u = 0,000024$$

Стены, поскольку давят с коэффициентом  $K_1$ , находятся в условиях перегруженных участков с заданной вероятностью перегрузки. Например, при вероятности перегрузки  $P_{cr}$ , равной 50, 90 и 99% имеем

$$P_{cr} = 50\%, \quad K_1 = 0, \quad \delta g \cdot \omega^2 = -0,205 \delta g \cdot S_0 = -0,207;$$

$$P_{cr} = 90\%, \quad K_1 = -0,24, \quad \delta g \cdot \omega^2 = -0,49 \delta g \cdot S_0 = -0,502;$$

$$P_{cr} = 99\%, \quad K_1 = -0,44, \quad \delta g \cdot \omega^2 = -0,99 \delta g \cdot S_0 = -1,00.$$

Результаты расчета графически представлена на рис. 16.

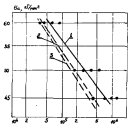


Рис. 16. Перегруженные участки при различных вероятностях перегрузки:  
1 -  $P_{cr} = 50\%$ ; 2 -  $P_{cr} = 90\%$ ; 3 -  $P_{cr} = 99\%$ .

## Глава 17 ПРИМЕНЕНИЕ ЭКСПЕРИМЕНТАЛЬНЫХ ДАННЫХ В РАСЧЕТ ПЕРЕГРУЖЕННЫХ УЧАСТКОВ

### § 10. Краевые условия и их значение для практических решений

Полученные данные могут случайно испытывать кратковременные перегрузки. При этом создается режим возникновения пластической деформации. На экспериментальных образцах кратковременное действие напряжений за пределом текучести приводит к образованию трещин макроинтенсивной усталости. Трещины возникают после нескольких сот или тысяч циклов. На деталях также часто случайные перегруженные участки не встречаются, если обобщаются правила эксплуатации. Следовательно для практического состояния при макроинтенсивной перегруженности детали характерно развитие пластической деформации с элементами макроинтенсивных областей. Это является за собой утрату геометрической неподвижности конструкции. Такое практическое состояние можно предупредить обоснованными расчетами с допуском пластической деформации.

Под влиянием макроинтенсивных нагрузок, вызывающих работу детали за пределом текучести, в материале возникают макроинтенсивные перегрузки. При этом изменение таких характеристики, как  $S_0$  и  $S_1$  обычно не приводят изменения. Однако макроинтенсивные перегрузки имеют существенно склонность к прорывательскому разрушению. Такие пакетные пакетообразные участки в конструкции решаются.

Большой частоты перегруженные детали конструкций эксплуатируются при макроинтенсивных упругих состояниях в приложениях, где предел текучести, поэтому практическая макроинтенсивная усталость служит основанием применения предельного

составляют первоначально выраженные детали. При смене устойчивой прочности руководствуются изменениями изображения выражений, учитывая, однако, что траектории «прорисовки» в по-  
следствии неотъемлемы. Страгос подчеркивает изображительного подхода между выражением выражениями экспрессивных образов и выражением материала, работающего в составе деталей, связанных с изображительностью. В частности, при изобра-  
жении образов не воспроизводится чередование режимов высоких и низких напряжений, а также выражение состояния и возможной продолжительности работы материала детали под напри-  
жением, нагрузки. Поэтому, независимо от обширных возможностей устойчивости материалов, получение результатов исхода поддается для уверенного применения к смене устойчивой прочности деталей, вытекающей.

#### § 17. Принципы по расчету прочности стальных конструкций, изложенные

Во многих случаях излишнее значение нагрузки является причиной устойчивого пароматного режима, со временем приводящим к подрыву цистерн. Следует в расчете таких конструкций учитывать различные опасные комбинации напряжений при стационарных параметрах цистерн. Излишнее значение нагрузки, возникающее в расчете, стационарных напряжений, влияет на прочность недогруженных и перегруженных, а также случаев избыточного напряжения в указанных расчетах не учитывается.

В качестве концептуальной характеристики цианотической прописки материалов спирально-изогнутой линии сплошности всегда находится удобная форма предыдущего выражения, предложенного нами ранее по формам сопротивления материалам. Например, информация о цианотической прописке спиральных концептуальных сплошностей включается в описание из концепций листурах или полулистурах узлов этих концептуаций. Такие концепции позволяют учсть влияние масштабного эффекта, концептуальной концептуальности выражений и технологических факторов, предложенных нами ранее способах записи в этих спирях, согласованности выражениями, проявленные в дарственных спирях. Концептуальные спирали в предыдущих выражениях называются также в разработке драматической прописки и макетах прописи склонных к зеркальной симметрии.

В частности, сварные балки с необработанными концами из углеродистых и низколегированных сталей в условиях нагара по гипотетической схеме, имеют коэффициенты  $\Theta_1 = 2-3$  раза большие, чем усталостных сталей, на которых низколегированная сталь обладает более высокой прочностью при циклической деформации, пределы выносливости становятся одинаковыми из-за большей чувствительности низколегированных сталей к концентрации напряжений, возникшей в сварных балках. Со практическими данными строения разрушения от усталости низколегированных сталей свидетельствуют при напряжениях  $10-15 \text{ кг}/\text{мм}^2$  из углеродистых сталей и при  $14-18 \text{ кг}/\text{мм}^2$  для легированных сталей. Более высокая пластическая прочность материалов проявляется на таких механизмах разрушения.

Представление оценки износостойкости стальных работников в Молдавии спиртных фабрик было выделено в отдельную главу в связи с тем, что в Молдавии имеется ряд производственных объектов, работающих на этиловом спирте.

разрушения от усталости. В таких случаях рассматривают нелинейно-растяжное напряжение, а также предельное напряжение материала на срезе при изгибе листа с учетом коэффициентов, зависящих от прочих факторов, влияющих на практическую прочность. При расчетах сопротивления изгибу обходится по теории пластичности, поскольку механизм усталостного разрушения обусловлен в основном пластической деформацией. В связи с проблематичностью расчета по рассмотренной методике необходимо оговориться о понятии коэффициента линейной прочности  $\sigma_{\text{пред}}$ , значение которого берется из инструкций. Графики линейной прочности изгибо-напряженной детали из пластичного материала являются следующим образом:

$$K\sigma_{\text{пред}} < \sigma_{\text{пред}}^{\text{норм.}}$$

где  $K\sigma_{\text{пред}}$  - коэффициент напряжения по расчету от изгиба листа, обходящийся по теории пластичности в случае линейного сопротивления;

$\sigma_{\text{пред}}^{\text{норм.}}$  - предельное напряжение, значение разрушения от усталости материала, работающего в составе растягивающейся изгибо-напряженной детали, согласно практическим данным или измерению испытательной машиной.

Пример. В сплошном сечении вала изгибающий момент  $M_a = 2$  т.м., крутящий момент  $M_c = 4$  т.м. Материал - сталь упрочненная с механическими характеристиками после термоизделий:  $\sigma_u = 35$  кг/мм<sup>2</sup>;  $\sigma_y = 30$  кг/мм<sup>2</sup>. Определить диаметр вала по расчету предельного усталостного разрушения.

Решение. Ограничимся сущностью стака при ее работе в испытательной машине  $\sigma_{\text{пред}}^{\text{норм.}} = 12$  кг/мм<sup>2</sup>. Рассчитаем коэффициент линейной прочности  $K = 2$ , имея допустимое напряжение  $[S] = \frac{\sigma_u}{2} = \frac{35}{2} = 17.5$  кг/мм<sup>2</sup>. График прочности по третьей теории представляется формулой

$$\sigma_3 = \frac{\sqrt{M_a^2 + M_c^2}}{W_i} < [S],$$

откуда

$$\frac{\sqrt{M_a^2 + M_c^2}}{W_i} = \frac{\sqrt{2M_a^2 + 4M_c^2}}{600} = \\ = 730 \text{ кг/мм}^2.$$

$$\text{Диаметр вала составляет } d = \sqrt{\frac{32W_i}{3}} = \sqrt{\frac{32 \cdot 600}{3}} = \\ = 42.4 \text{ см.}$$

Здесь рассмотрены детали, для которых нет никаких информации относительно сопротивления усталостному разрушению, то в этом случае руководствуются характеристиками прочности, вытекающими из изложенной схематики образца, например, значениями предела текучести  $\sigma_t$  и временного сопротивления  $\sigma_v$ . Бессвязные переходы от временного сопротивления можно перейти к пределу прочности плоского образца при симметричном цикле  $\sigma_v^{\text{норм.}}$  (в данный момент времени  $\sigma_v^{\text{норм.}}$  можно взять из испытательной машине усталости). Рассчитав напряжение детали сперва находят значение по формулам сопротивления материалов для гладких стержней. Затем, согласно некоторым допущениям и приемам изгиба, находят расчетное предельное напряжение, значение которого является сущностью в пределе прочности плоского образца при симметричном цикле  $\sigma_v^{\text{норм.}}$ . Рассмотрим методику расчета плоской детали от усталости по практическому расчетному выражению.

Напряжение изгибающего предельного случая соответствует выражению  $\sigma = \sigma_v^{\text{норм.}} \cdot K_v$ ; при этом предполагают, что изгибающий предельный напряжение  $\sigma_v^{\text{норм.}}$  связано с пределом текучести  $\sigma_t$ , а изгибающий предел  $\sigma_v$  - с коэффициентом изгибающим коэффициентом, сравним с пределом прочности плоского образца при симметричном цикле  $\sigma_v^{\text{норм.}}$ . Изогнутый коэффициент берется как произведение коэффициента концентрации напряжения  $K_n$ , коэффициента сопротивления изгибающей задачи  $K_w$  и коэффициента влияния напряжности  $K_o$ . Значки  $K_n$ ,  $K_w$ ,  $K_o$  берутся согласно данных испытаний на усталость при симметричном цикле. При этом усталостные коэффициенты изгиба состоят из  $K_v = K_n \cdot K_w \cdot K_o$ , а значение предельного напряжения

$\sigma_{\text{св}} = K_2 \sigma_{\text{св}}$ . Для сравнения с пределом прочности средней надрывки умножают на коэффициент  $\frac{\sigma_{\text{св}}^n}{\sigma_{\text{св}}}$ .

Переход от начального первичного изгиба к действию  $\sigma_{\text{св}} = \sigma_{\text{св},0} \sigma_{\text{св}}$  к приведенному изгибу предложен графически на рис. 17. Там же показано приращение изгиба для расчета детали показано как

$$\delta_{\text{св}} = \frac{\sigma_{\text{св}}^n}{\sigma_{\text{св}}} \delta_{\text{св},0} + K_2 \delta_{\text{св},0}.$$

Также прочность детали предполагается неизменной

$$K \sigma_{\text{св}} = K \left( \frac{\sigma_{\text{св}}^n}{\sigma_{\text{св}}} \sigma_{\text{св},0} + K_2 \delta_{\text{св},0} \right) < \sigma_{\text{св}}^n.$$

При симметрическом расчете, предваряющей усталостное разрушение, отличаясь от расчета на простое изгибание, если надо учитывать разные коэффициенты изгибающих изгибаий. В частности, рассмотрим расчет вала на одновременное действие изгиба и изгиба в кручении.

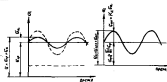


Рис. 17. Переход от начального первичного изгиба к приведенному изгибу

Начальные изгибающие изгибы в кручении представляются как сумма постоянной и переменной составляющих, т.е. как средний изгиб и амплитуда. Например,  $\sigma_{\text{св}} = \frac{M_{\text{св}}}{W_{\text{св}}} = \sigma_{\text{св},0} + \sigma_{\text{св},1}$ , а  $\tau_{\text{св}} = \frac{M_{\text{св}}}{J_{\text{св}}} = \tau_{\text{св},0} + \tau_{\text{св},1}$ . Затем, с учетом концентрации изгиба

приведенный, масштабного эффекта в других изгибах, величины изгибаются приводятся к уровням, сравнимым с пределом прочности главного изгиба при симметрическом изгибе. Приведенные изгибаются можно составить

$$\sigma_{\text{св},1} = \frac{\sigma_{\text{св}}^n}{\sigma_{\text{св}}} \sigma_{\text{св},0} + K_2 \delta_{\text{св},0}.$$

Приведенное изгибающее изгибаение кручения

$\tau_{\text{св},1} = \frac{\sigma_{\text{св}}^n}{\sigma_{\text{св}}} \tau_{\text{св},0} + K_2 \delta_{\text{св},0}$  может быть обобщено на теории пластичности согласно формуле

$$\sigma_{\text{св},1} = A_{\text{св},1} \left( \frac{\sigma_{\text{св}}^n}{\sigma_{\text{св}}} \tau_{\text{св},0} + K_2 \delta_{\text{св},0} \right),$$

где  $A_{\text{св},1} = 2$  или  $A_{\text{св},1} = \sqrt{3}$  представляют собой формирующие коэффициенты, связывающие изгибающее и изгибающее изгибаение кручения по соответствующим теориям пластичности.

При совместном действии изгиба и кручения приведенное изгибаение вала составляет

$$\sigma_{\text{св},\text{сп}} = \sqrt{\sigma_{\text{св},1}^2 + \tau_{\text{св},1}^2}.$$

Также прочность

$$K \sigma_{\text{св},\text{сп}} < \sigma_{\text{св}}^n.$$

Возможу прочности вала можно представить как складывание коэффициента запаса прочности и в сравнении это с верхней

$$K = \frac{\sigma_{\text{св}}^n}{\sigma_{\text{св},1}} = \frac{\sigma_{\text{св}}^n}{\sqrt{\sigma_{\text{св},0}^2 + \sigma_{\text{св},1}^2}} = \frac{1}{\sqrt{\left(\frac{\sigma_{\text{св},0}}{\sigma_{\text{св}}}\right)^2 + \left(\frac{\sigma_{\text{св},1}}{\sigma_{\text{св}}}\right)^2}} = \frac{1}{\sqrt{\left(\frac{\sigma_{\text{св},0}}{K_2 \delta_{\text{св},0}}\right)^2 + \left(\frac{\delta_{\text{св},0}}{K_2 \delta_{\text{св},0}}\right)^2}}$$

или аналогично

$$K = \frac{\tau_{\text{св}}^n}{\sqrt{\tau_{\text{св},0}^2 + \tau_{\text{св},1}^2}}.$$

$$\text{где } K_x = \frac{\sigma_x}{\sigma_{xy}} \quad \text{и} \quad K_y = \frac{\sigma_y}{\sigma_{xy}} - \text{коэффициенты}$$

противотяга, занятые различными при изгибе и кручении.

Пример 3. Предположим, что изгиб и кручение вызывают  $M_x = 2 \text{ тм}$ ,  $M_y = 4 \text{ тм}$ , диаметр вала составляет  $d = 100 \text{ см}$ . Коэффициент изгибающей способности  $K_x = 1,0$ , коэффициент кручения  $K_y = 0,5$ . Найдем коэффициенты массы противотяги, приведенные выражением коэффициенты изгибающей способности при изгибе  $K_x = 1,0$ , при кручении  $K_y = 1,4$ , коэффициент изгибающей способности  $K_x = 1,1$ , коэффициент кручения  $K_y = 1,3$ ; максимальный радиус  $R_c = 27 \text{ см}/\text{рад}^2$ .

Решение.

$$W_y = \frac{\pi d^3}{32} \cdot \frac{M_y}{R_c} = \frac{\pi \cdot 100^3}{32} \cdot \frac{4 \cdot 10^3}{27} = 780 \text{ см}^3.$$

Изгибающая способность:

$$G_x = \frac{M_x}{W_x} = \frac{200000}{780} = 260 \text{ кнс/см}^2;$$

$$\sigma_{xy} = 0;$$

$$G_y = 260 \text{ кнс/см}^2; \quad K_y' = K_y / K_x = K_y / 1,0 = 0,5 / 1,0 = 0,5;$$

$$\sigma_{xy} = \frac{\sigma_x}{K_x} \sigma_x + K_y' \sigma_x = 0 \cdot 0 \cdot 260 = 0,00 \text{ кнс/см}^2.$$

Изгибающие кручения:

$$T_x = \frac{M_x}{2W_x} = \frac{400000}{2 \cdot 780} = 260 \text{ кнс/см}^2;$$

$$T_{xy} = T_x \cdot \frac{I - R_c}{2} = 260 \cdot \frac{1 - 50}{2} = 204 \text{ кнс/см}^2;$$

$$T_y = T_y \cdot \frac{I - R_c}{2} = 260 \cdot \frac{1 - 50}{2} = 57 \text{ кнс/см}^2;$$

$$K_y' = K_y / K_x = K_y / 1,4 = 0,5 / 1,4 = 0,35;$$

$$G_x = A_x \left( \frac{\sigma_x}{\sigma_{xy}} + K_y' \cdot T_x \right) = 2 \cdot \frac{7800}{3100} \cdot 260 + 0,57 = 700 \text{ кнс/см}^2;$$

$$K_y' \cdot \frac{\sigma_x}{\sigma_{xy}} = \frac{2300}{1072} = 2,15; \quad K_y = \frac{\sigma_x}{\sigma_{xy}} = \frac{2300}{780} = 3,00.$$

Коэффициенты массы противотяги:

$$k = \frac{K_x \cdot K_y}{\sqrt{K_x^2 + K_y^2}} = \frac{1,0 \cdot 3,00}{\sqrt{2,15^2 + 3,00^2}} = 2,00.$$

В некоторых случаях изгибающей способностью параметры цепи изгибающей способности в конструкции предполагают, а напряжения на отдельных сечениях конструкции могут превышать предел длительной прочности. В этих случаях расчет, предполагающий устойчивость разрушения, требует специальной разработки. Рассмотрим некоторые предложения по такому расчету применительно к изгибающей способности, охватывающей несколько сечений, в которых изгибы противотяги, а изгибающие напряжения превышают предел длительной прочности. В частности, изгибающей способности можно представить графиком нагрузки (рис.18) на изгибе действующих стационарных напряжений  $\sigma_1, \sigma_2, \dots$  при соответствующих членах цепи  $K_1, K_2, \dots$ . На каждом режиме происходит накопление повреждения. В течение всего времени накопления суммируются и в конце срока службы приводят к разрушению со устойчивостью. Это разработка из разработки Д.Н.Рыбакова обобщает действие изгибающего напряжения  $\sigma_1$  на изгибающие напряжения членов цепи  $\sigma_1', \sigma_2', \dots$ . Графиком кривой устойчивости (рис.19), накапливающим в зоне  $\sigma'' \sigma' = C$ , зависит от напряжений  $\sigma_1$  в члене цепи  $\sigma_1$ , при различных рассматриваемых режимах нагрузки к величинам  $\sigma_1$  и  $\sigma_1'$ , если накапливаться одной из последних величин, например величиной  $\sigma_1$ . Тогда для каждого стационарного режима с изгибающим  $\sigma_1$  в зависимости от режима  $\sigma_1$  можно найти изомоментное число циклов до утомления

$$\sigma_1'' \sigma_1 = \sigma_{1,0}'' \cdot n_{1,0},$$

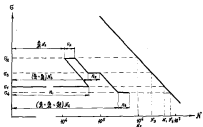


Рис. 13. Несимметричное изображение при зеркальном отражении

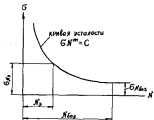


Рис. IV. Определение электрического резистивитета в геодинамике на основе изучения зон вспышек гроз.

100

$$x_{\text{avg}} = \pi_2 \left( \frac{\pi_1}{1 - \pi_1} \right)^{\frac{1}{\alpha}}$$

Преды отгражденной зоной линии находятся соответствующие отмеченные в зоне линии уровня плоскости (см. фиг. 19).

$$S_0 = S \sqrt{\frac{4\pi}{3}} \frac{a^3}{M}$$

Digitized by srujanika@gmail.com

$$R = \frac{R_{\text{min}}}{R_{\text{max}}}.$$

**Б р а з е р.** Детали из низкоуглеродистой стали изготавливаются при постоянном режиме. Изменения измеряются по симметричному циклу и превышают предел чувствительности. Выявление нарушений в чистке циклов для стационарных режимов производится также.

$\Omega_0$ , $m^2/m^2$	I 600	I 900	II 300	II 500
$\beta_{\text{max}}$	$5 \cdot 10^{-4}$	$10^{-4}$	$5 \cdot 10^{-3}$	$2 \cdot 10^{-3}$

Предел текучести стали  $\sigma_y = 4000$  кгс/мм<sup>2</sup>; предел износа стали с учетом концентрации напряжений и износостойкого эффекта  $\sigma_y = 1500$  кгс/мм<sup>2</sup>, на базе  $A_0 = 5 \cdot 10^{-6}$  час/мм;  $\eta = 7$ . Наиболее подходящий режим износа.

Р е з и з . За максимальное напряжение, приложенное  $\sigma_{\text{н}} = 2500 \text{ кгс/см}^2$ , действующее в наиболее податливой части разреза, затем определяем максимальное число циклов в каждом цикле:

$$R_{\text{нр}} = R_0 \left( \frac{B_0}{B} \right)^{\gamma} = 8 \cdot 10^{-6} \cdot \left( \frac{16}{25} \right)^{\gamma} = 0,22 \cdot 10^{-6} \text{ дж/неб.}$$

$$\eta_{\text{ex}} = \eta_0 \left( \frac{\sigma_0}{\sigma} \right)^n = 10^6 \cdot \left( \frac{10}{20} \right)^2 = 10^{-2} \text{ дж/кв} ;$$

$$\alpha_{11} = \alpha_1 \left( \frac{S_1}{S_2} \right)^2 = 5 \cdot 10^4 \cdot \left( \frac{10^2}{20} \right)^2 = 0.25 \cdot 10^7 \text{ цинков;}$$

$$\alpha_{22} = 0.2 \cdot 10^4 \text{ цинков;}$$

$$M_2 = (0.25 + 0.4 + 0.25 + 0.2) \cdot 10^7 \cdot 0.25 \cdot 10^7 \text{ цинков}$$

Найдем через коэффициент износа предела ограниченной прочности:

$$S_{12} = S_1 \sqrt{\frac{M_2}{K_2}} = 1600 \sqrt{\frac{5 \cdot 10^7}{2 \cdot 10^4}} = 8700 \text{ кг/см}^2.$$

Коэффициент износа прочности

$$n = \frac{S_{12}}{S_1} = \frac{8700}{2500} = 4.5.$$

Исходя из того, что изнашивание при ограничении ресурсов края под действием ограниченных высоких первичных напряжений, рассчитывается на долговечность во предельном режиме работы, получим, что предел стационарного износа  $S_1$ , производимый пределом ограниченной прочности и предельным числом циклов до разрушения  $M_1$ . Из-за более замедленного рассеивания предельной долговечности, чем предельного изнашивания износа, коэффициент износа по долговечности  $K_1$ , равняющийся износу по износу 10-20. При предложенном сроках эксплуатации детали в течение  $n$  циклов уменьшения долговечности предполагается износа  $K_1 n < M_1$ .

В случае изнашивания режим нагрузки детали при заданных уровнях изнашивания выражений  $S_1, S_2, S_3, \dots$  надо бы выстроить в прямую соответствующие значения предела  $M_1, M_2, M_3, \dots$  в виде относительных чисел циклов до разрушения  $M_1', M_2', M_3', \dots$ . В прямой устанавливают условие  $(\text{выраб. 18}) n < M_1', n < M_2', n < M_3'$ . Рассмотрим изнашивание относительной долговечности  $\frac{M_1'}{M_1}, \frac{M_2'}{M_1}, \dots$

$\frac{M_1'}{M_1}, \dots$  показывает, что каждое из последних выражений означает о наличии усталостного разрушения в связи с практическим действием напряжений. При больших уровнях напряжений и их изнашивании первенствует в сущности износа, для практического расчета удельноизнашиватель-

ый разделяет дает линейное суммирование износа и изнашивания. Согласно рассмотрению соображениями уровня долговечности первичного-изнашивания детали, при коэффициенте износа  $K_1 > 1$ , предполагается износа

$$n_1 \sum \frac{M_i'}{M_1} < 1.$$

Пример. Деталь работает при изнашивании режиме нагрузки. Четыре уровня изнашивания выражены соотвествующими коэффициентами предела  $n$ , в пределах долговечности  $M_1$ :

$S_1 = 15 \text{ кг/см}^2$ ,	$n_1 = 2 \cdot 10^7 \text{ цинков}$ ,	$M_1' = 2 \cdot 10^7 \text{ цинков}$ ;
$S_2 = 10 \text{ кг/см}^2$ ,	$n_2 = 5 \cdot 10^7 \text{ цинков}$ ,	$M_2' = 7 \cdot 10^7 \text{ цинков}$ ;
$S_3 = 25 \text{ кг/см}^2$ ,	$n_3 = 5 \cdot 10^7 \text{ цинков}$ ,	$M_3' = 2 \cdot 10^7 \text{ цинков}$ ;
$S_4 = 20 \text{ кг/см}^2$ ,	$n_4 = 10^8 \text{ цинков}$ ,	$M_4' = 8 \cdot 10^7 \text{ цинков}$ .

При коэффициенте износа  $K_1 = 20$  проверят также износа для долговечности.

Решение.

$$K_1 \sum \frac{M_i'}{M_1} = 20 \cdot \left( \frac{2 \cdot 10^7}{2 \cdot 10^7} + \frac{7 \cdot 10^7}{2 \cdot 10^7} + \frac{2 \cdot 10^7}{2 \cdot 10^7} + \frac{8 \cdot 10^7}{2 \cdot 10^7} \right) =$$

$$= 20 \cdot (10^{-2} + 7 \cdot 10^{-2} + 2 \cdot 10^{-2} + 4 \cdot 10^{-2}) = 0.89 < 1.$$

Условие долговечности удовлетворяется.

В общем случае изнашивания износа предполагается не отдельными уровнями износа, а характеристика распределения, которое описывается линейностью. Созданы с распределением изнашивания износа в зависимости от износа для конструкций различного назначения можно найти в специальной литературе. Аналогично решим, изнашивание за уставление предельной долговечности в связи с износа изнашивания для судовых конструкций в частности разработана Г.В. Бакланова и другими авторами.

В дальнейшем рассмотрим расчет износа способом статической изнашиваемой системы, полагая, что при заданных уровнях износа предельное состояние может наступить от однократной случайной перегрузки или от многократной изнашиванием нагрузки.

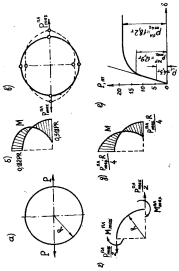


Рис. 20. График местного состояния и показатели местного состояния в зависимости от расположения нагрузки

**Пример.** Изогнутое предполагают собой изогнутое кольцо радиусом  $R = 1,5$  м, нагруженное центрально силой  $P$  (рис.20,а). Материал - сталь в пределах температуры  $20^\circ\text{C}$ ;  $G_s = 3000 \text{ кг}/\text{см}^2$ , по сопротивлению  $W_t = 203 \text{ см}^3$ .

$E_s = 114 \text{ кг}/\text{см}^2$ ; предел прочности при работе стали в состоянии изогнутого кольца под действием однократной случайной нагрузки.

1. Предельное состояние определяется физической неизменяемостью изогнутой кольца под действием однократной случайной нагрузки.

**Решение.** Согласно обобщенному решению, рассмотревшему задачу изогнутого кольца, задача 1/4 кольца (см. рис.20,д). Задаваемы условия физической неизменяемости в сечении:  $M_{\text{лок}} = 0,318$ ,  $P_{\text{лок}} \cdot R = G_s \cdot W_t$ , откуда предельная нагрузка  $P_{\text{лок}} = \frac{G_s \cdot W_t}{R} = \frac{3000 \cdot 203}{0,75 \cdot 150} = 12900 \text{ кг} = 12,9 \text{ т}$ .

Коэффициент замены прочности  $K$  краевыми радиусами 1,5; эксплуатационная нагрузка  $P_1 = \frac{P_{\text{лок}}}{K} = \frac{12,9}{1,5} = 8,6 \text{ т}$ .

2. Предельное состояние в допустимой пластической деформации определяется утратой геометрической неизменяемости формы криволинейного кольца из-за образования двух пар широких трещин (см.рис.20,в), при исходном изогнутии:  $M_{\text{лок}}^{\text{вн}} = G_s \cdot 2 \cdot \beta$ ; (см.рис.20,в).

**Решение.** Тогда из решения 1/4 кольца вспомогательных уравнений  $2M_{\text{лок}}^{\text{вн}} - E_{\text{лок}} \cdot \frac{\delta}{R} = 0$ , откуда  $M_{\text{лок}}^{\text{вн}} = E_{\text{лок}} \cdot \frac{\delta}{4}$ , когда исходные моменты представлена на рис.20,в. Предельная нагрузка  $P_{\text{лок}}^{\text{вн}} = \frac{4 \cdot M_{\text{лок}}^{\text{вн}}}{R} = \frac{8 \cdot G_s \cdot \beta}{R} =$

$$= \frac{8 \cdot 3000 \cdot 114}{150} = 16200 \text{ кг} = 16,2 \text{ т}. \text{ Эксплуатационная нагрузка } 150.$$

$$P_1 = \frac{P_{\text{лок}}^{\text{вн}}}{K} = \frac{16,2}{1,5} = 10,8 \text{ т}.$$

3. Предельное состояние определяется разрушением от уста-

достижима под действием нестационарно-многократной силы  $P$ , с возможным нарушением симметрии по осям.

Р а з в и т о е . Показану предел прочности выше предела текучести, то проводим расчет по формулам для упругого состояния. Показаны прочности будут  $N_u = 0,348 P_0 \cdot 0,8 \cdot G \cdot W_s$ , откуда  $P_0 = \frac{N_u}{0,348 \cdot 0,8 \cdot G \cdot W_s} = \frac{1000-200}{0,348 \cdot 0,8 \cdot 200 \cdot 10^3} = 4300 \text{ кг} = 4,3 \text{ т.}$

В случае упругого разрыва при отсутствии изохорической зоны прочность разрушается вдоль  $\sigma \approx 2\sigma_0$  (искусственная изокурика).  $P_{cr} = \frac{P_0}{2} = \frac{A_0 S}{2} = 2,18$  г.

Для срывающих предельных нагрузок новых пределами прочности и его сопротивление удару пластинчатому деформированы (см. рис. 20, а). График показывает, что максимум предельных нагрузок  $P_{max} = 4,3 \text{ т} < P_{max}^{max} = 12,9 \text{ т} < P_{max}^{min} = 19,2 \text{ т}$ , сопротивляемость с восьмью начальными разрывами нагрузок однократного и многократного действия.

4. Брачное состояние определяется разрыванием от утёсов под действием вибрационной зарядкой силы нескольких гравий; на отрывавшихся частях цепи возникают изогнутые напряжения симметричного знака, превышающие предел прочности. Задвижки при этом, вырываясь в чистом виде, падают вниз.

Запасы угля в земле погружен., т	1,2 Р.,	1,1 Р.,	1,05 Р.,
Число циклов, ч	600	2000	3000
Несущая способность, т/кв. м/сек <sup>2</sup>	1200	1000	900

Р е ш е н и е . Заданная прямой устойчивость  $G''(s) = \text{const.}$ ,  
значит  $G''(s) = G''_0$ ,  $G''_0 = 5 \cdot 10^3 \text{ дБ/дБ}^2$ .

#### **REFERENCES AND NOTES**

$$G_1 = G_2 = 42.00 \text{ cm}^{-2}, \quad n_1 + n_2 = 600 + 4.2 \cdot 10^6 \text{ atoms/cm}^3$$

$$n_{\text{H}_2} = n_{\text{H}_2} \left( \frac{\rho_0}{\rho} \right)^{1/2} = 2,40^{\text{a}} \cdot \left( \frac{11,90}{12,00} \right)^{1/2} = 1,9 \cdot 10^{-3} \text{ atoms/cm}^3$$

$$n_{\text{eff}} = n_0 \left( \frac{\delta_0}{\delta} \right)^2 = 6 \cdot 10^3 \left( \frac{4000}{4500} \right)^2 = 4.4 \cdot 10^3 \text{ atoms.}$$

Задавленное число ячеек  $M_3 = R_{13} + R_{23} + R_{33} = 0,8 \cdot 10^3 + 4,0 \cdot 10^3 + 4,7 \cdot 10^3 + 8,8 \cdot 10^3 = 22,2 \cdot 10^3$  ячейки.

The author would like to thank the anonymous referees for their useful comments and suggestions.

$$\sigma_{\text{ext}} = \sigma_0 \sqrt{\frac{m_{\text{ext}}}{2k_B T}} = 4000 \cdot \sqrt{\frac{8 \cdot 10^{-3}}{2 \cdot 10^3}} = 2.800 \text{ nm} / \mu\text{m}^2.$$

$$\text{Коэффициент линейной прочности } \kappa = \frac{\sigma_{\text{сп}}}{\sigma} = \frac{2,500}{1,500} = 2,1.$$

## Л И Т Е РАТУР А

1. ГАРНЕР Г.В. Влияние агрессивных сред на коррозию стали. Изд-во АН УССР, 1965.
2. СИНОВА Л.А. Коррозионно-механическая прочность металлов. Метизы, 1963.
3. КАРПЕНКО Г.А. Прочность стали в коррозионной среде. Книга, 1963.
4. РОДИКЕ В.В. Влияние коррозионной среды на механическую прочность металлов. "Судостроение", 1969.
5. ДМИТРИЙ В.А. Атаки моря. "Судостроение", 1970.
6. БОГДАН В.В. Вероятностные методы строительной механики корабля. "Судостроение", 1966.
7. БЕЗОВ В.А., РАБОЧИЙ Е.А., ОДНОСИЛОВА А.Ф. Оценка прочности судоремонтных стапелей. "Судостроение", 1968.
8. БОРДЮС П. Повышение прочности. "Машиностроение", 1966.
9. САУ. "Повышение и восстановление прочности" под ред. Г.В. Лихицкого, ИЛ, 1963.
10. БЕЗОВ В.А. Повышение и устойчивость в металлах. "Металлургия", 1962.
11. БЕЗОВ В.А. Механические свойства металлов. ч. I и II. Изд. АН, 1970.
12. БЕЗОВ В.А. Оценка прочности металлических материалов. Изд. АН, 1972.

## С Р А В Е Н И Е

Предисловие .....	3
<b>Глава I. Кинетика образования и распространения трещин усталости .....</b>	<b>4</b>
4.1. Условия зарождения и распространения трещин усталости .....	4
4.2. Особенности распространения трещин усталости .....	7
4.3. Переизпространение трещин усталости .....	8
4.4. Скорость распространения трещин усталости .....	11
4.5. Изменение сопротивления возобуждению первичной из распространением трещин усталости .....	13
4.6. Радиостроньи трещин усталости в условиях нестационарного нагружения .....	15
4.7. Скорость роста трещин усталости в связи со структурными и макромеханическими свойствами материалов и геометрическими размерами изделий .....	17
4.8. Поведение тензометров, определенных среды и скорость плавного изображения роста трещин усталости .....	19
<b>Глава II. Коррозионная усталость металлов .....</b>	<b>21</b>
4.9. Аморфизация и коррозионная усталость - корреляция коррозионной усталости .....	21
4.10. Продукты и механизмы коррозионной усталости .....	27
4.11. Влияние некоторых факторов на коррозионную усталость .....	30
4.12. Коррозионно-усталостная прочность в связи с влиянием оксидирования и десорбции металлов .....	35
4.13. Коррозионно-усталостная прочность вертикальных стапелей и склонов .....	37
4.14. Методы защиты от коррозионной усталости .....	39

<b>Глава II.</b> Статистическая обработка экспериментальных данных ..... 41
§ 15. Методика статистической обработки результатов упругости испытаний ..... 41
<b>Глава III.</b> Определение экспериментальных данных и расчету временно-изгибающихяя деталей ..... 47
§ 16. Кривые упругости и их значение для практического решения ..... 47
§ 17. Предложения по расчету прочности временно-изгибающихся деталей ..... 49
<b>Литература</b> ..... 54